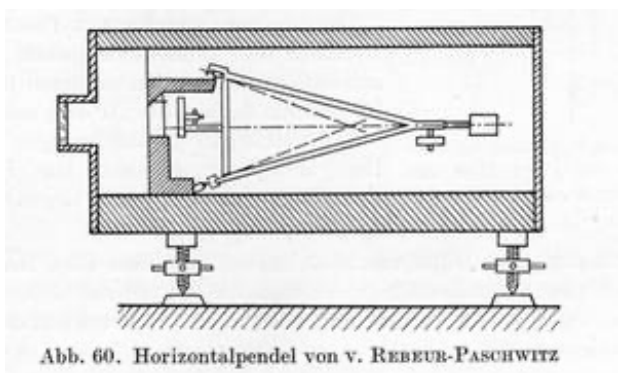
Sismologie et Traitement du signal

- Introduction
- Les séismes: comment sont-ils générés?
 - Contraintes, déformation, élasticité et rupture
- Les séismes: comment les étudier?
 - Les ondes sismiques
 - Mesures d'un séisme et analyse d'un sismogramme:
 - Localisation, magnitude, intensité,...
 - Méga séismes, et étude de la source sismique
- Imagerie de la Terre
 - Structure interne et tomographie sismologique
 - Sismique réflexion et sismique réfraction
- Aléa sismique et prévention
- Phénomènes induits (Tsunami...)

Les séismes: comment les étudier?

Propagation des ondes





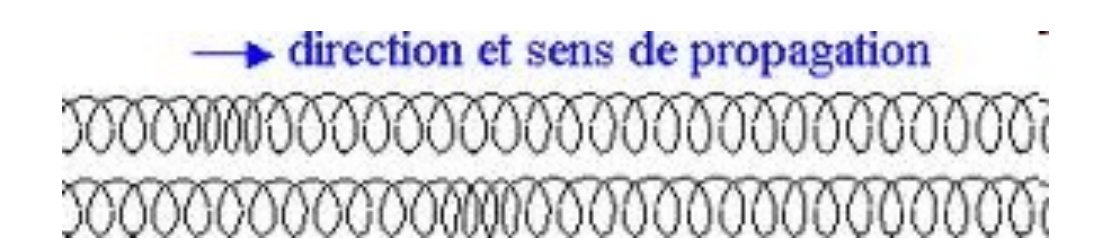
Paschwitz 1889: enregistre le premier sismogramme à Postdam le 18 Avril 1889, du séisme de Tokyo du 18 avril 1889!

Mise en évidence de la propagation à travers le globe des ondes élastiques émis par un séisme!

Identication des différentes ondes

Première estimation de la vitesse de ondes P (7km/s)

Propagation d'ondes

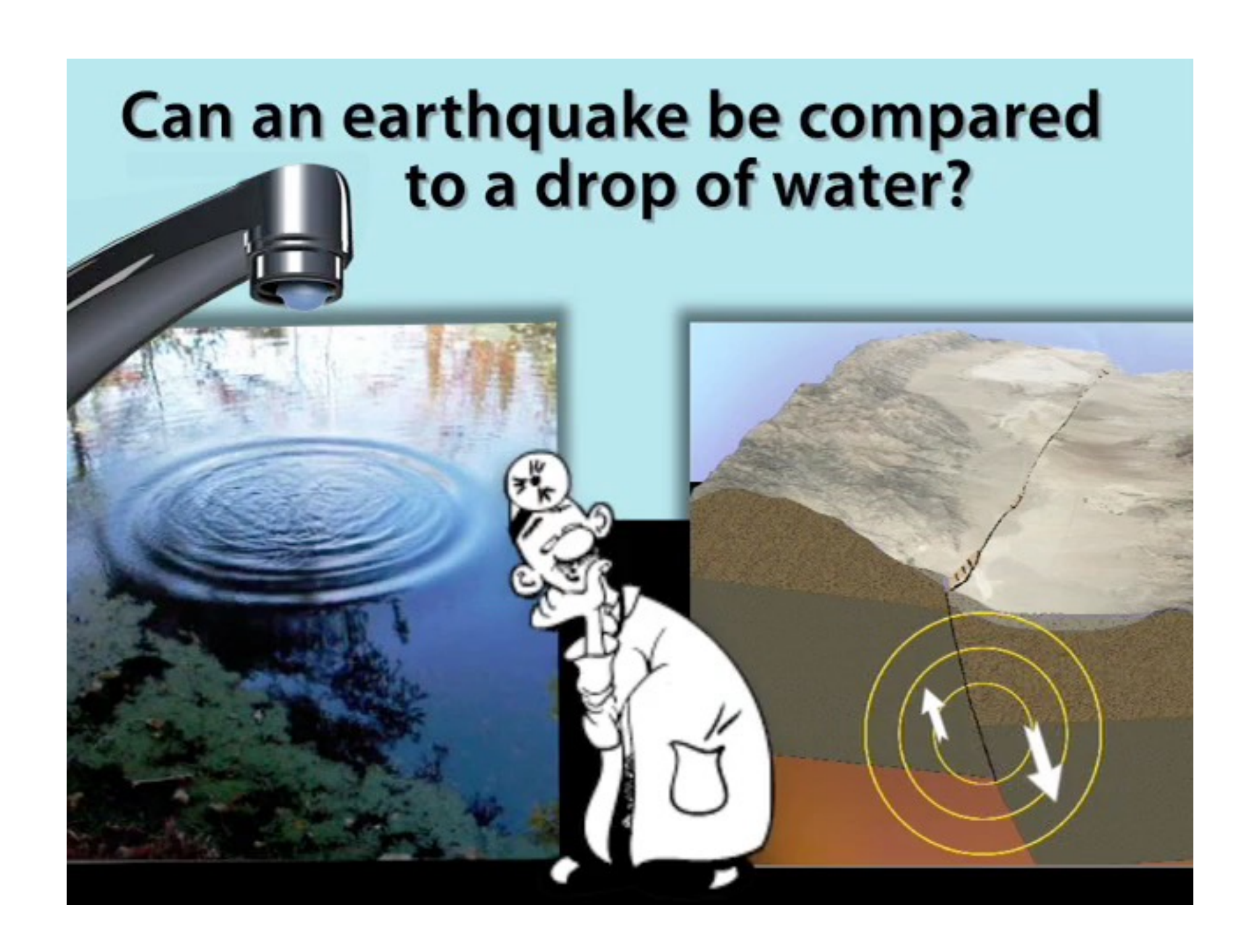




Une onde est le phénomène de propagation d'une perturbation.

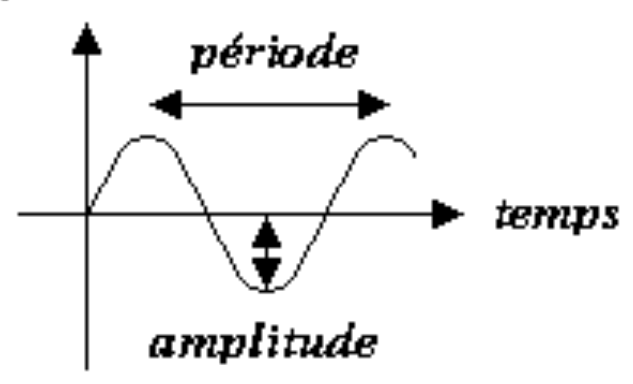
Onde élastique: le milieu reprend sa position initiale après le passage de la perturbation.

- PAS DE TRANSPORT DE MATIERE
 - TRANSPORT ENERGIE



Fréquence et longueur d'onde

déplacement



T=1/F

 $\lambda = v/F = v.T$

T: période (s)

F: fréquence (Hz)

 λ : longueur d'onde (m)

Résolution?

Fréquence et longueur d'onde

Le domaine fréquentiel des ondes enregistrées à la surface de la Terre est très large.

F = 100 Hz (T = 0,01 s): vibrations industrielles.

F = 10 Hz : Agitations industrielles, explosions proches.

F = 1 Hz : Explosions lointaines, séismes proches.

F = 0,1 Hz: Ondes de volumes des séismes. Agitations naturelles.

F < 0,001 Hz : Vibrations propres de la Terre. Marées terrestres.

Fréquence et longueur d'onde

Le domaine fréquentiel des ondes enregistrées à la surface de la Terre est très large.

F = 100 Hz (T = 0,01 s): vibrations industrielles.

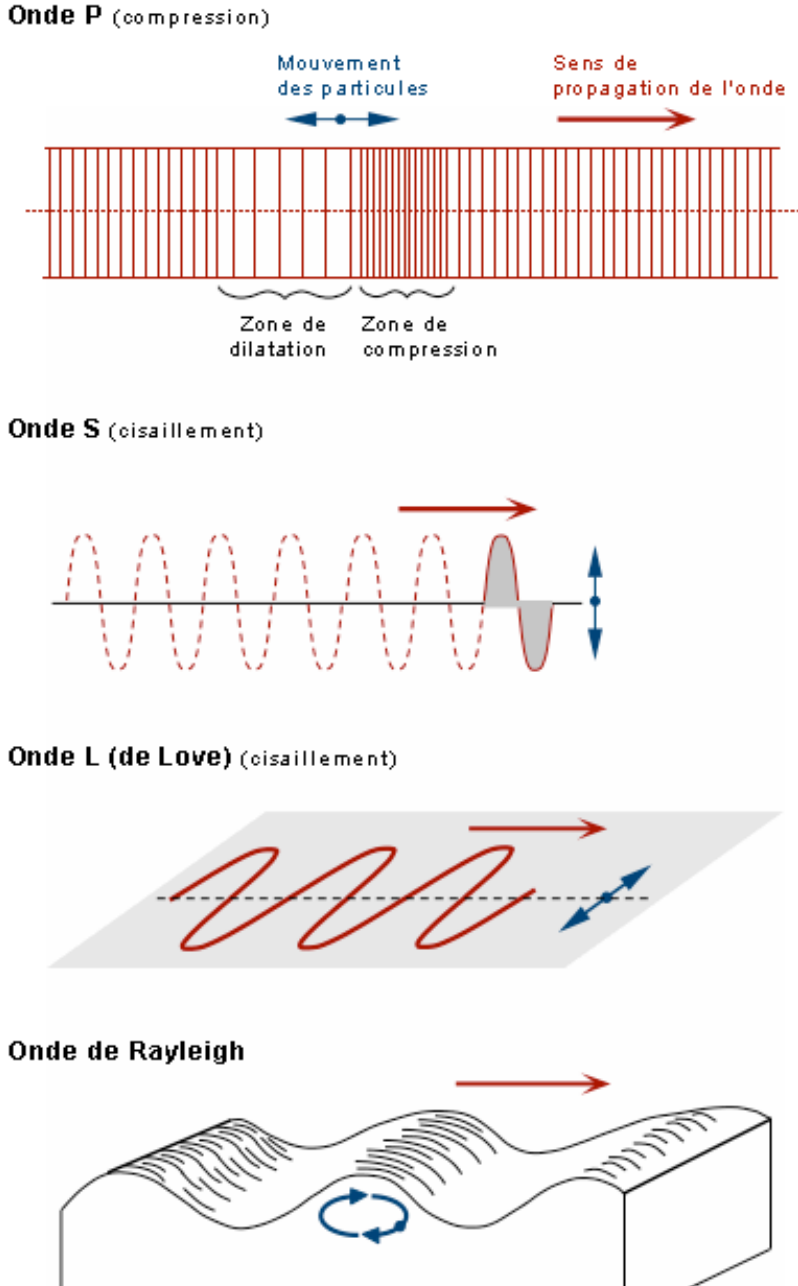
F = 10 Hz : Agitations industrielles, explosions proches.

F = 1 Hz: Explosions lointaines, séismes proches.

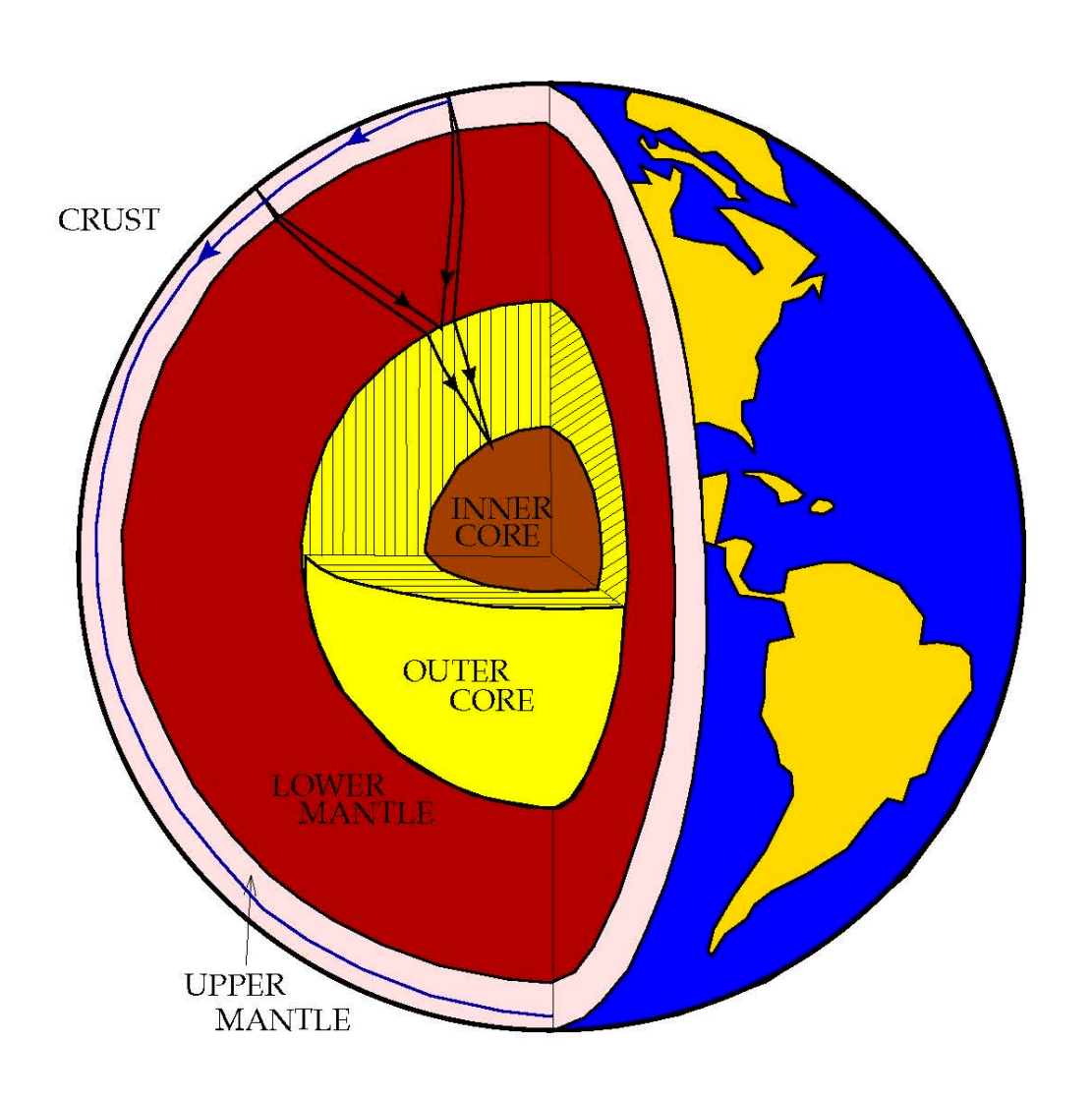
F = 0,1 Hz: Ondes de volumes des séismes. Agitations naturelles.

F < 0,001 Hz : Vibrations propres de la Terre. Marées terrestres.

Ondes de volume et surface



Les ondes dans la Terre



- les ondes des Volume: onde P et S

 investigation des
 profondeurs de la Terre
- les ondes de surface: onde de Love et de Rayleigh
 - exploration du manteau supérieur

Julie Perrot (Brest)

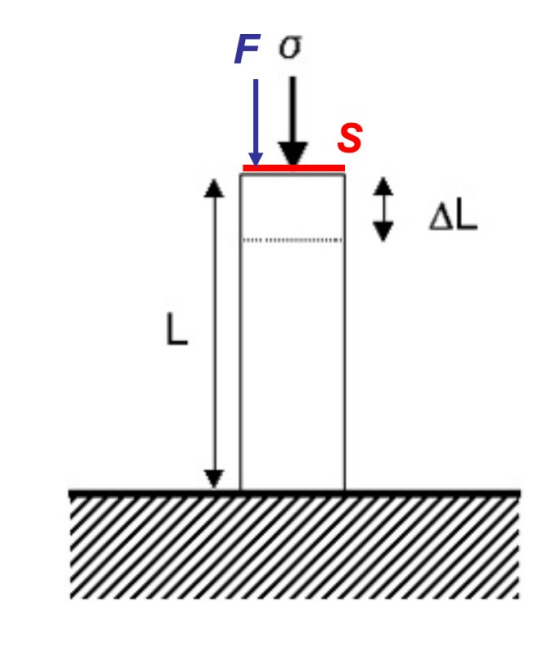
Notion de Déformation

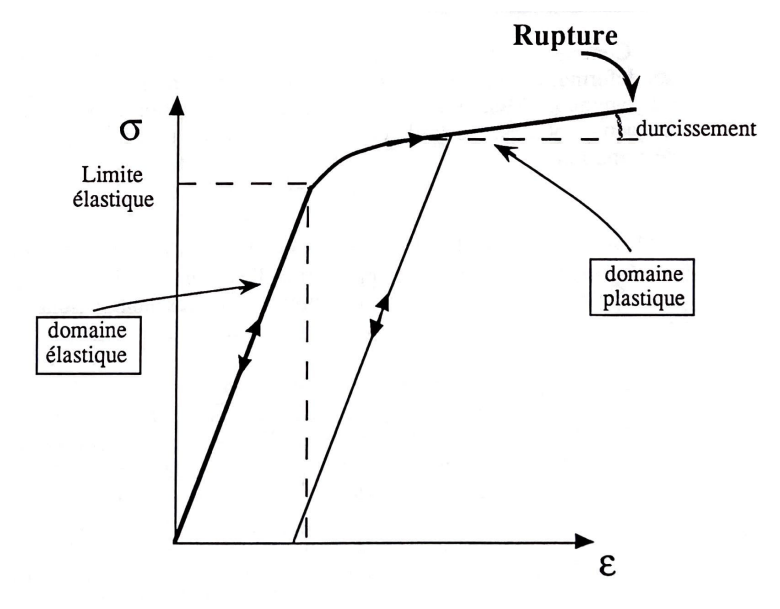
Déformation:
$$\varepsilon = \frac{\Delta L}{L}$$
 (sans unité)

Loi de Hooke:
$$\sigma = E \varepsilon$$

E: module de Young (Pa)

Poisson:
$$v = -\frac{\varepsilon_{\chi y}}{\varepsilon_{\chi \chi}}$$





Loi de Hooke généralisée:
$$\sigma_{ij}=\lambda arepsilon_{kk}\delta_{ij}+2\mu arepsilon_{ij}$$
 Milieu isotrope

λ: premier coefficient de Lamé (Pa) μ: module de cisaillement aussi appelé second coefficient de Lamé (Pa).

Notion de Déformation

De manière générale lorsqu'un volume subi une déformation au niveau macroscopique chaque position **x** dans le volume est transformé en une nouvelle position u(**x**).

La déformation locale est alors définie par:

$$\varepsilon = \frac{\partial}{\partial x} (u(x) - x)$$

En considérant le cas des petites déformations ε peut être traité comme un tenseur:

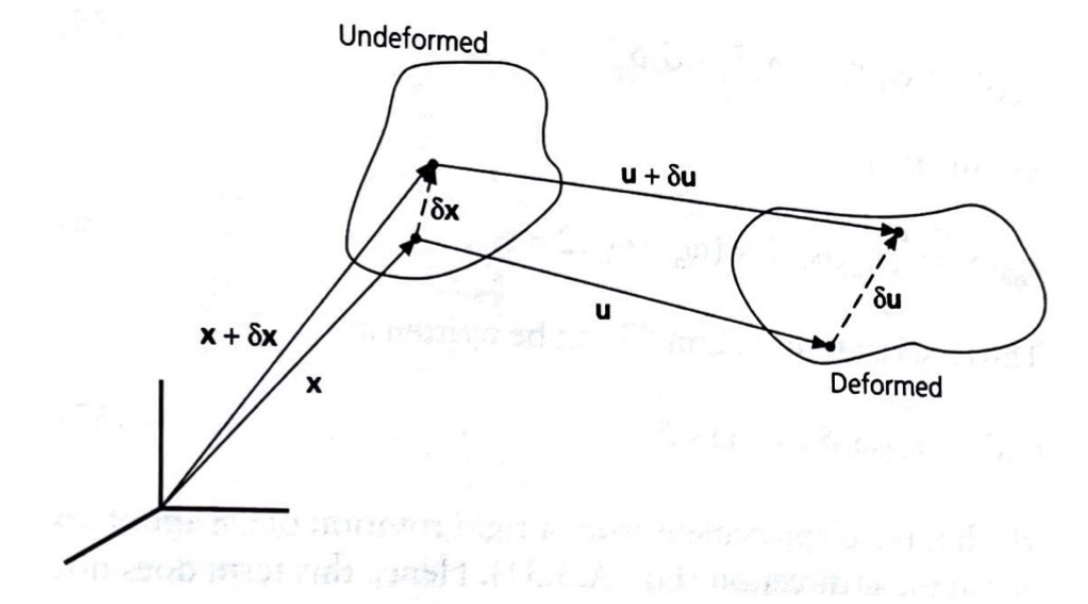


Fig. 2.3-11 Geometry showing how deformation arises from the relative displacement δu between two points originally separated by δx .

TENSEUR DE DÉFORMATION (SYMÉTRIQUE) EN FONCTION DES DERIVÉES DES VECTEURS DÉPLACEMENTS

$$e_{ij} = \begin{pmatrix} \frac{\partial u_1}{\partial x_1} & \frac{1}{2} \left(\frac{\partial u_1}{\partial x_2} + \frac{\partial u_2}{\partial x_1} \right) & \frac{1}{2} \left(\frac{\partial u_1}{\partial x_3} + \frac{\partial u_3}{\partial x_1} \right) \\ \frac{1}{2} \left(\frac{\partial u_2}{\partial x_1} + \frac{\partial u_1}{\partial x_2} \right) & \frac{\partial u_2}{\partial x_2} & \frac{1}{2} \left(\frac{\partial u_2}{\partial x_3} + \frac{\partial u_3}{\partial x_2} \right) \\ \frac{1}{2} \left(\frac{\partial u_3}{\partial x_1} + \frac{\partial u_1}{\partial x_3} \right) & \frac{1}{2} \left(\frac{\partial u_3}{\partial x_2} + \frac{\partial u_2}{\partial x_3} \right) & \frac{\partial u_3}{\partial x_3} \end{pmatrix}$$

Loi de Hooke - relation contrainte et déformation
Equation de l'élastodynamique donne la relation σ et u



Equation d'ondes

La forme générale de l'équation d'onde est

$$\nabla^2 u = \frac{1}{v^2} \frac{\partial^2 u}{\partial t^2}$$

$$\nabla^2 u = \frac{\rho}{\lambda + 2\mu} \frac{\partial^2 u}{\partial t^2}$$

$$V_p = \sqrt{\frac{\lambda + 2\mu}{\rho}}$$

$$\nabla^2 u = \frac{\rho}{\mu} \frac{\partial^2 u}{\partial t^2}$$

$$V_s = \sqrt{\frac{\mu}{\rho}}$$

Equation d'ondes

$$V_p = \sqrt{\frac{\lambda + 2\mu}{\rho}} \qquad V_s = \sqrt{\frac{\mu}{\rho}}$$

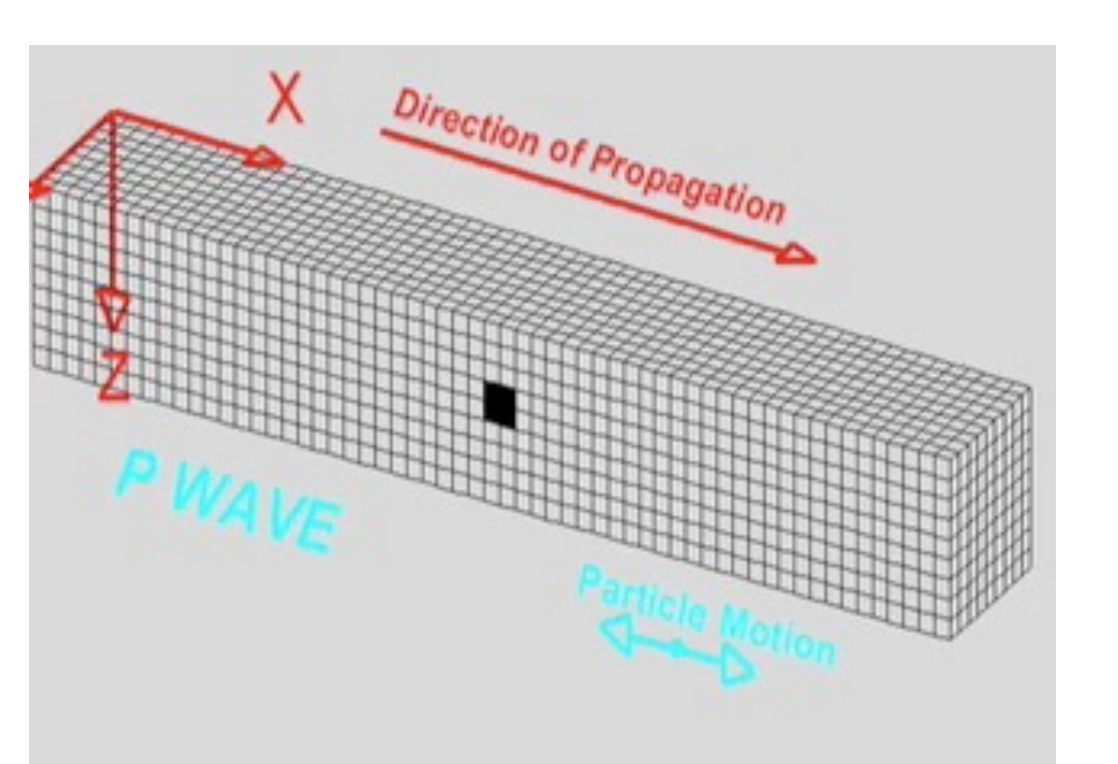
 λ : premier coefficient de Lamé (Pa)

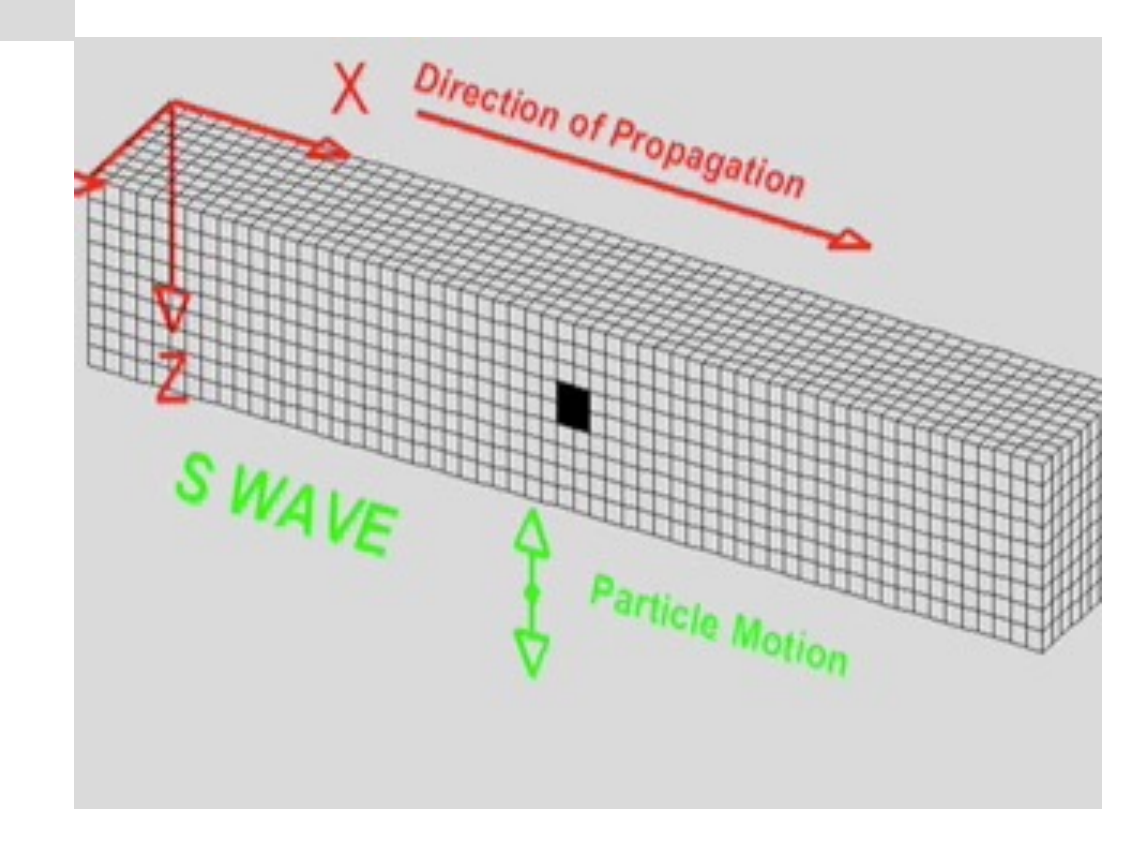
μ: module de cisaillement aussi appelé second coefficient de Lamé (Pa)

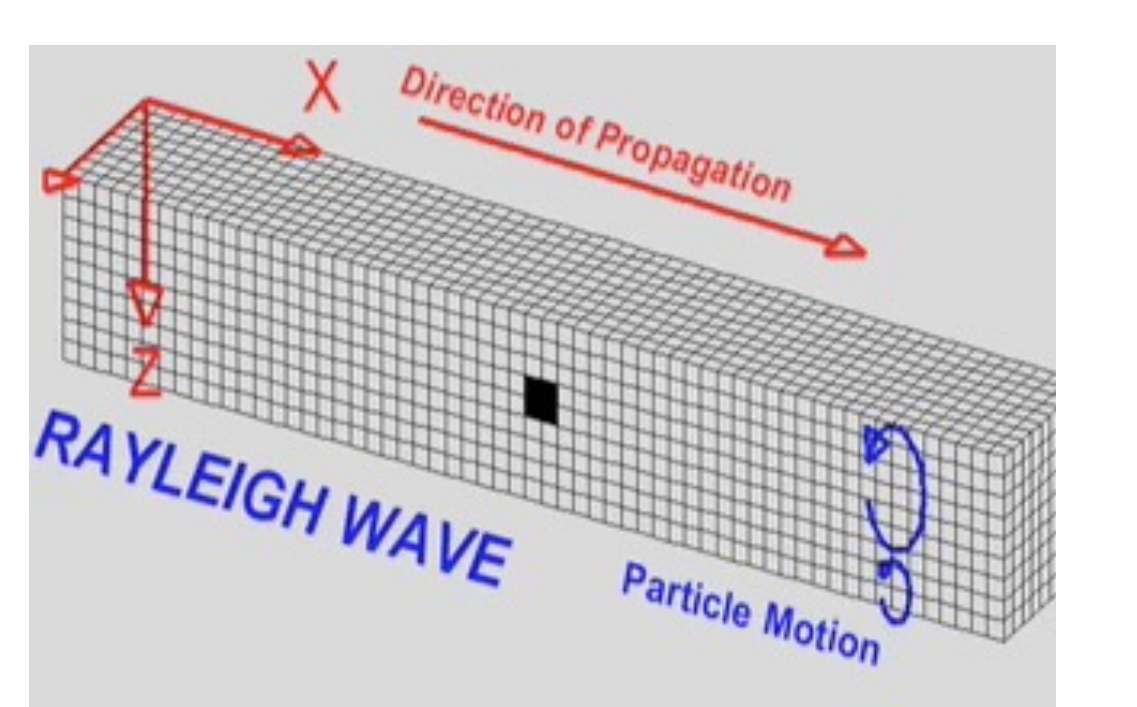
Les ondes de volume

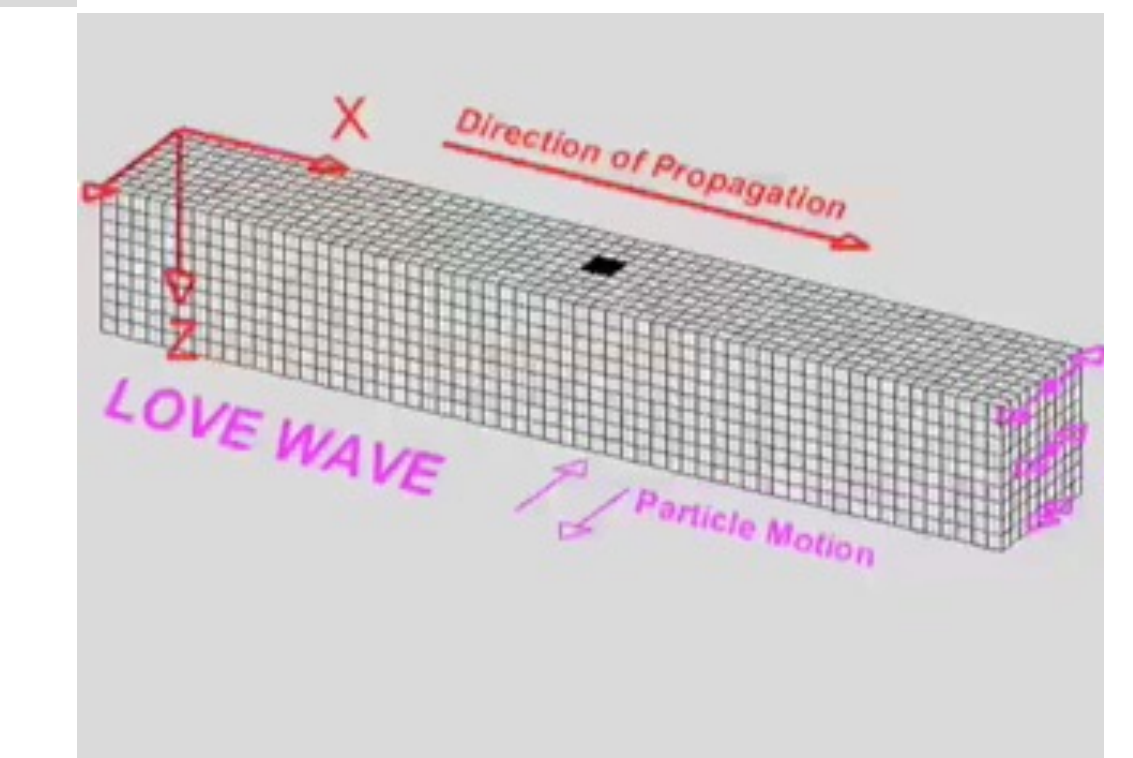
Matériau	Vp (km/s)	Vs (km/s)
Air	0.33	-
Eau	1.4-1.5	_
Hydrocarbure	1.3-1.4	_
Granite	5.5-6	2.8-3.3
Grès	1.4-4.3	0.7-2.8
Calcaire	5.9-6.1	2.8-3.0

- -Température : la vitesse décroît quand T augmente.
- Pression : la vitesse croît quand P augmente.
- Fusion partielle : la vitesse décroît quand les roches sont partiellement fondues.

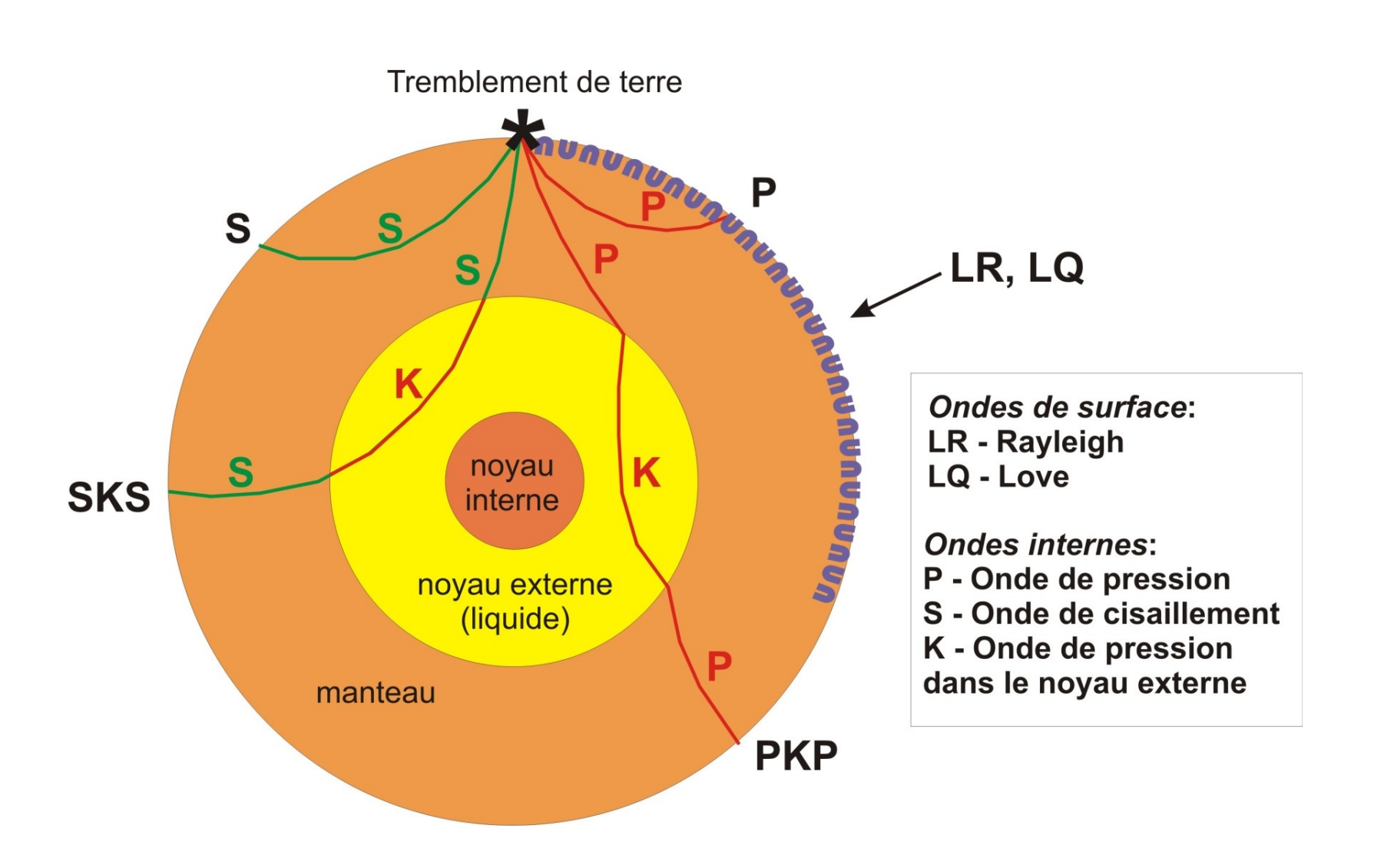




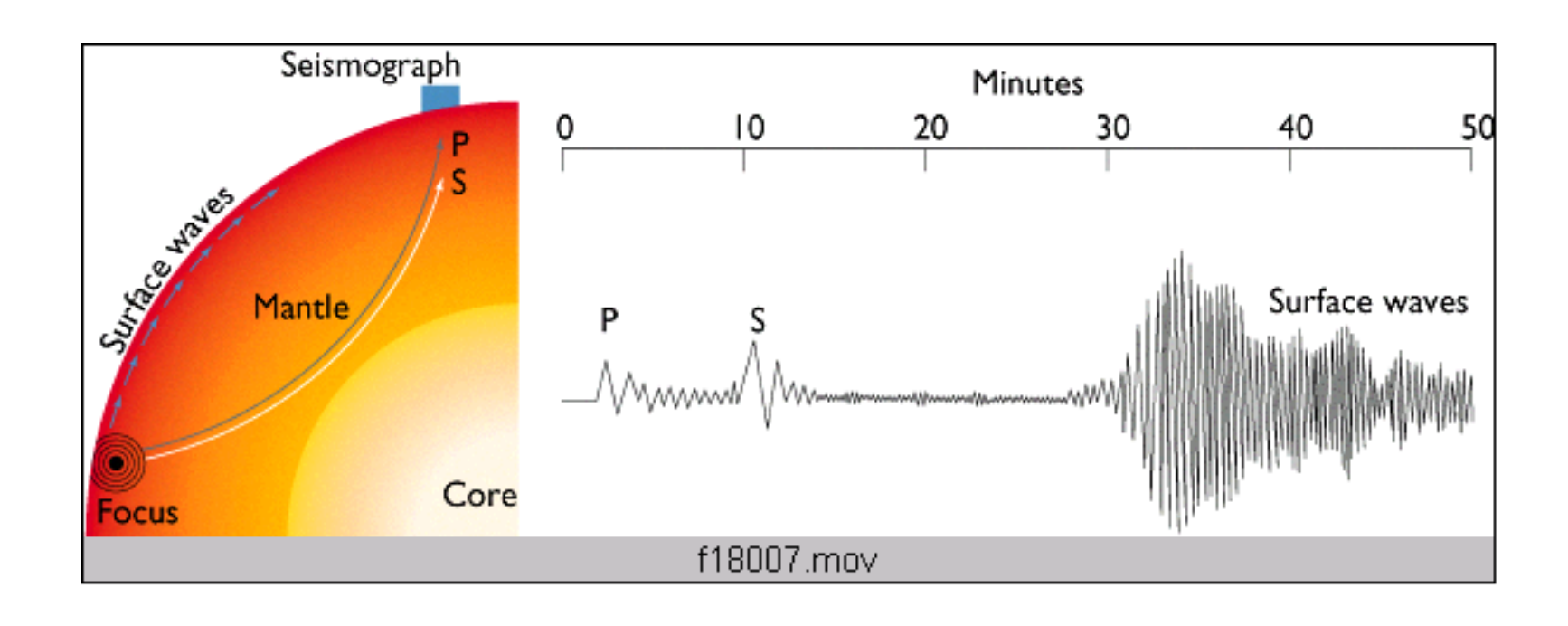




Ondes de volume et surface.



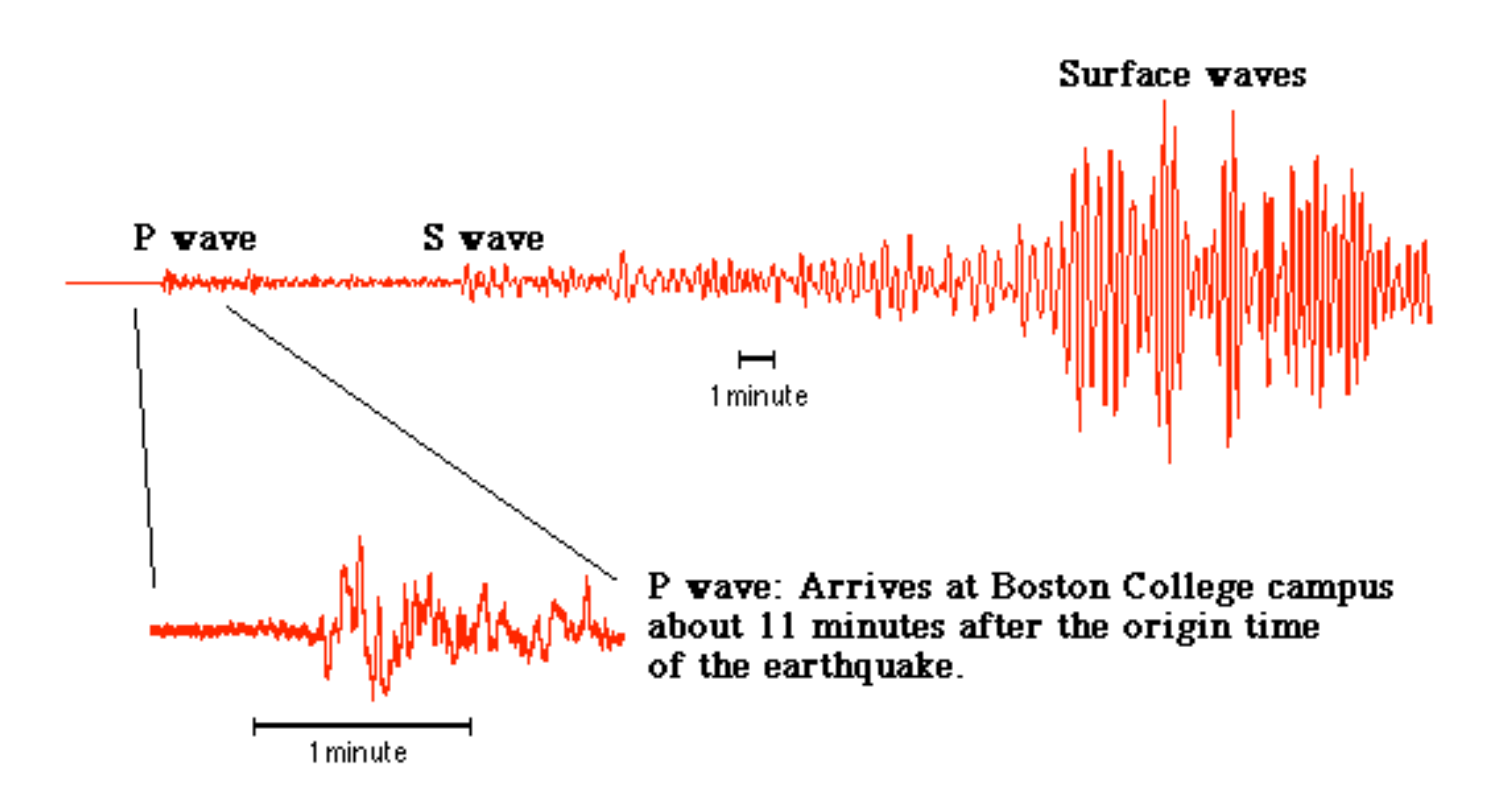
Ondes de volume et surface.



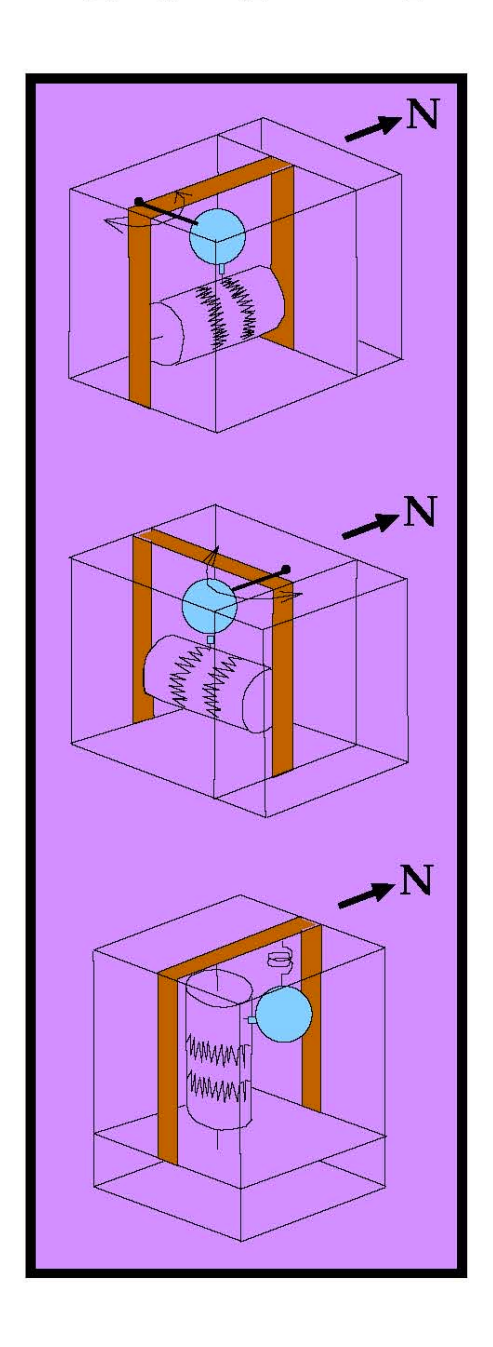
Ondes de volume et surface.

Seismogram of the Izmit, Turkey Earthquake (08/17/99, Ms 7.8)

Recorded by Weston Observatory Seismic Station in Devlin Hall Department of Geology and Geophysics Boston College



Seismomètre



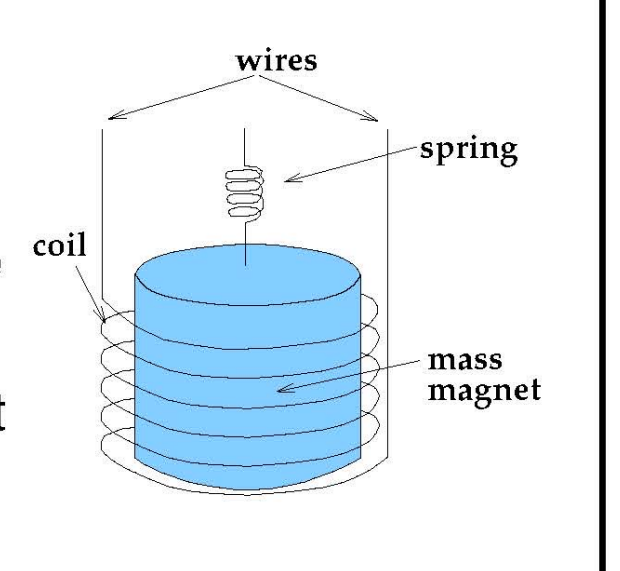
 Détection du mouvement du sol dans les 3 dimensions de l'espace

- Verticale: Z or V

- Horizontale Nord-Sud : NS

- Horizontale Est-Ouest : EO

- Aimant suspendu dans une bobine par un ressort
- Mouvement relatif de l'aimant par rapport à la bobine génère un petit courant électrique
- Convertit en enregistrement numérique



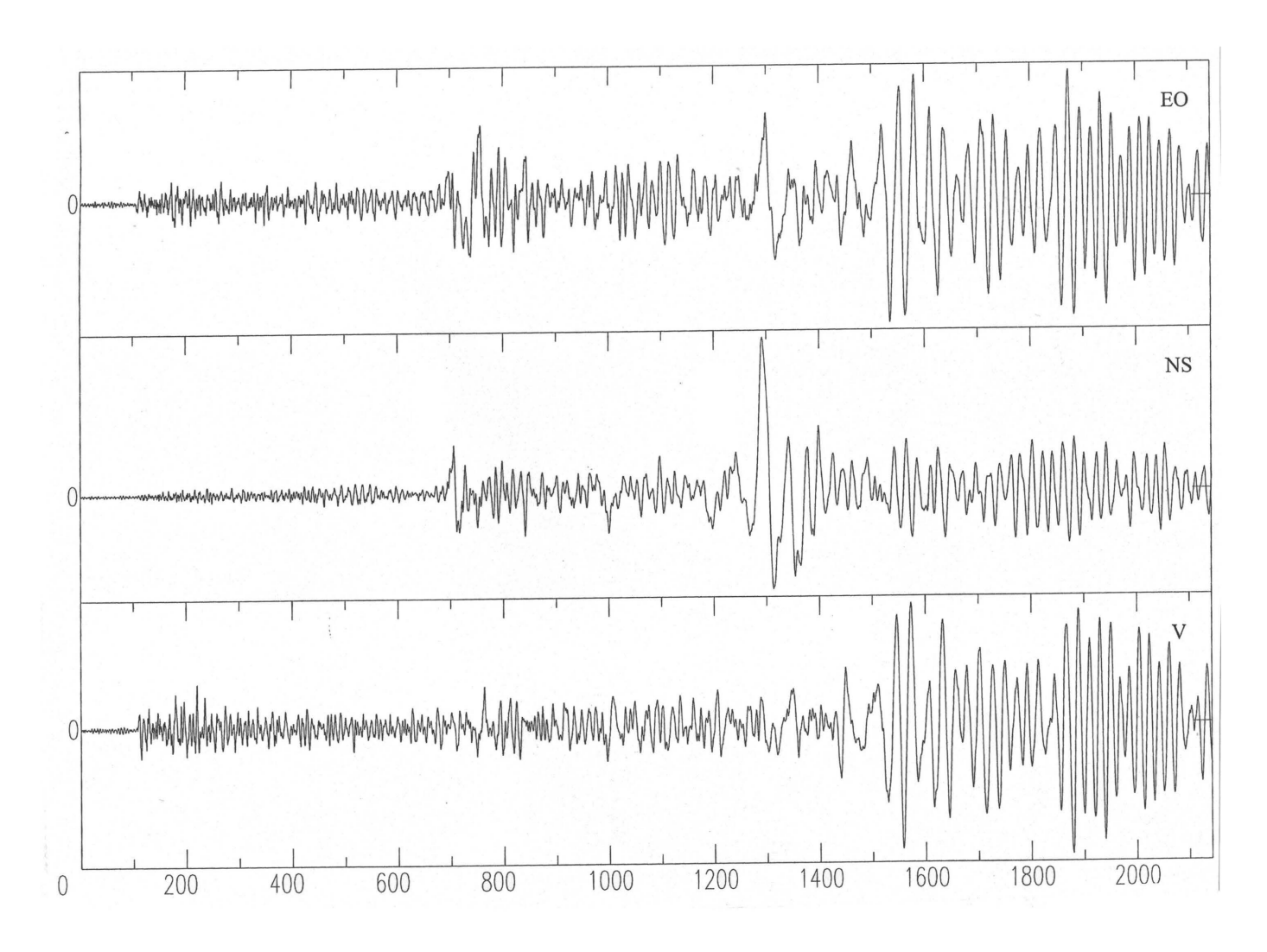
INCORPORATED RESEARCH INSTITUTIONS FOR SEISMOLOGY





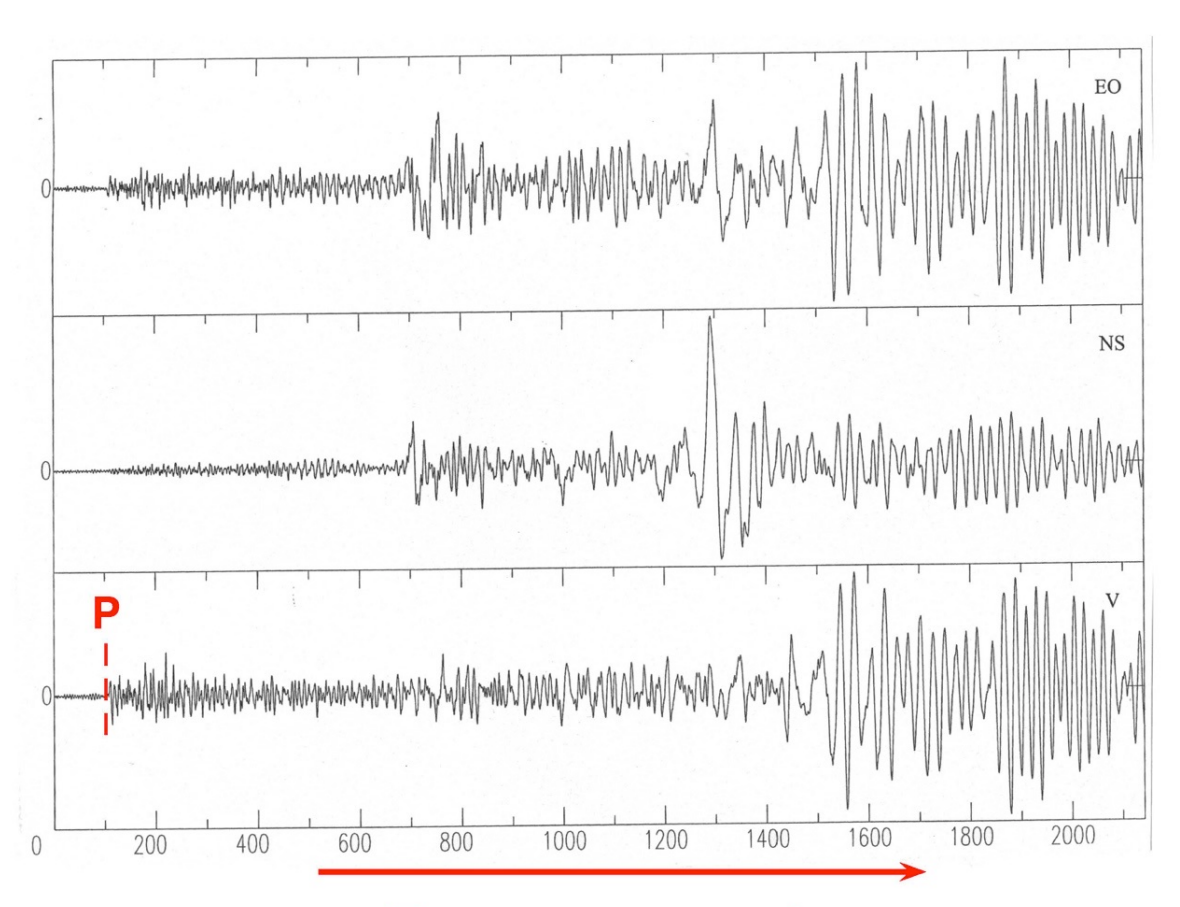
www.iris.edu/earthquake

Simogrammes: 3 composantes



Enregistrement d'un évènement télésismique (distance entre le séisme et la station supérieur à 10° soit 1000km)

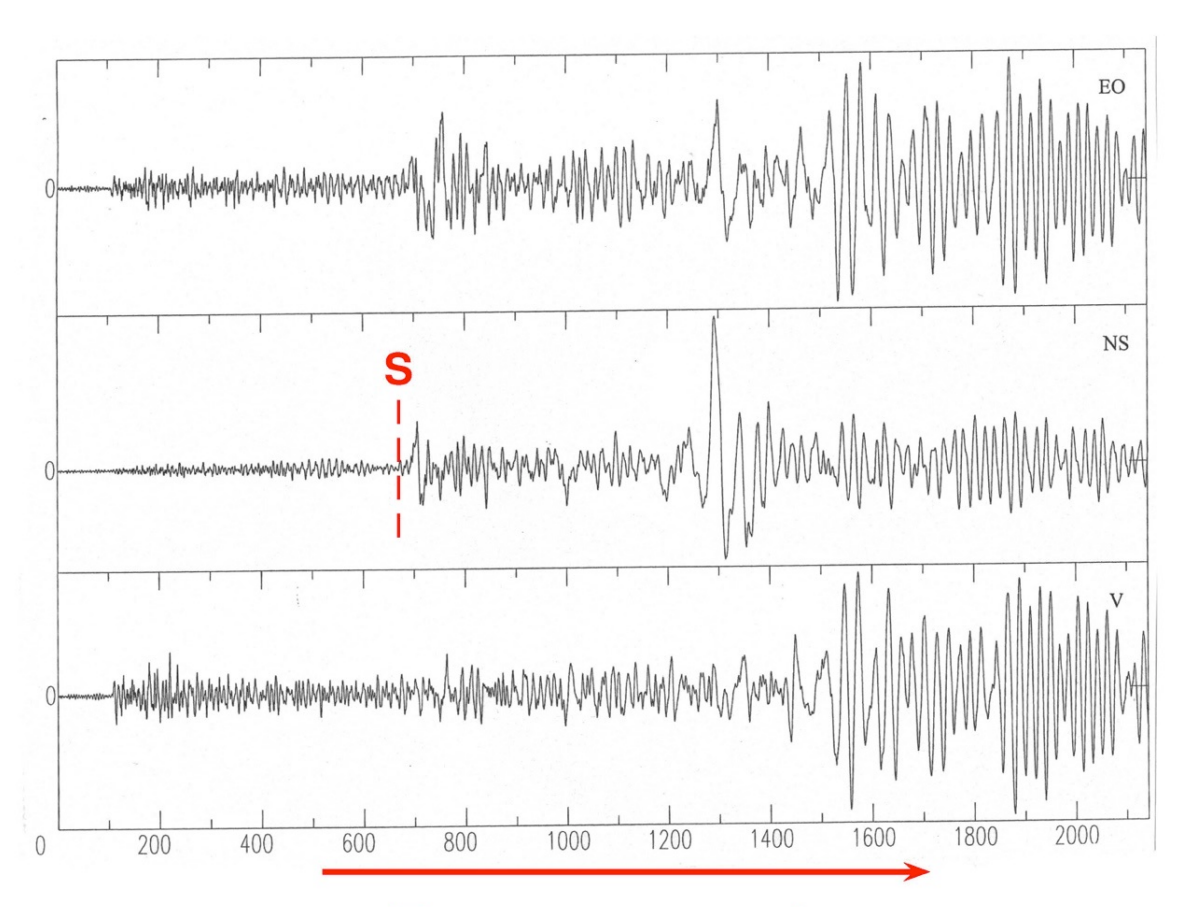
Identification de l'onde P



Temps en secondes

- Meilleure lecture sur la composante verticale
- Première arrivée en temps
- Contenu haute fréquence de l'onde aux alentours de 1 Hz (1 s)

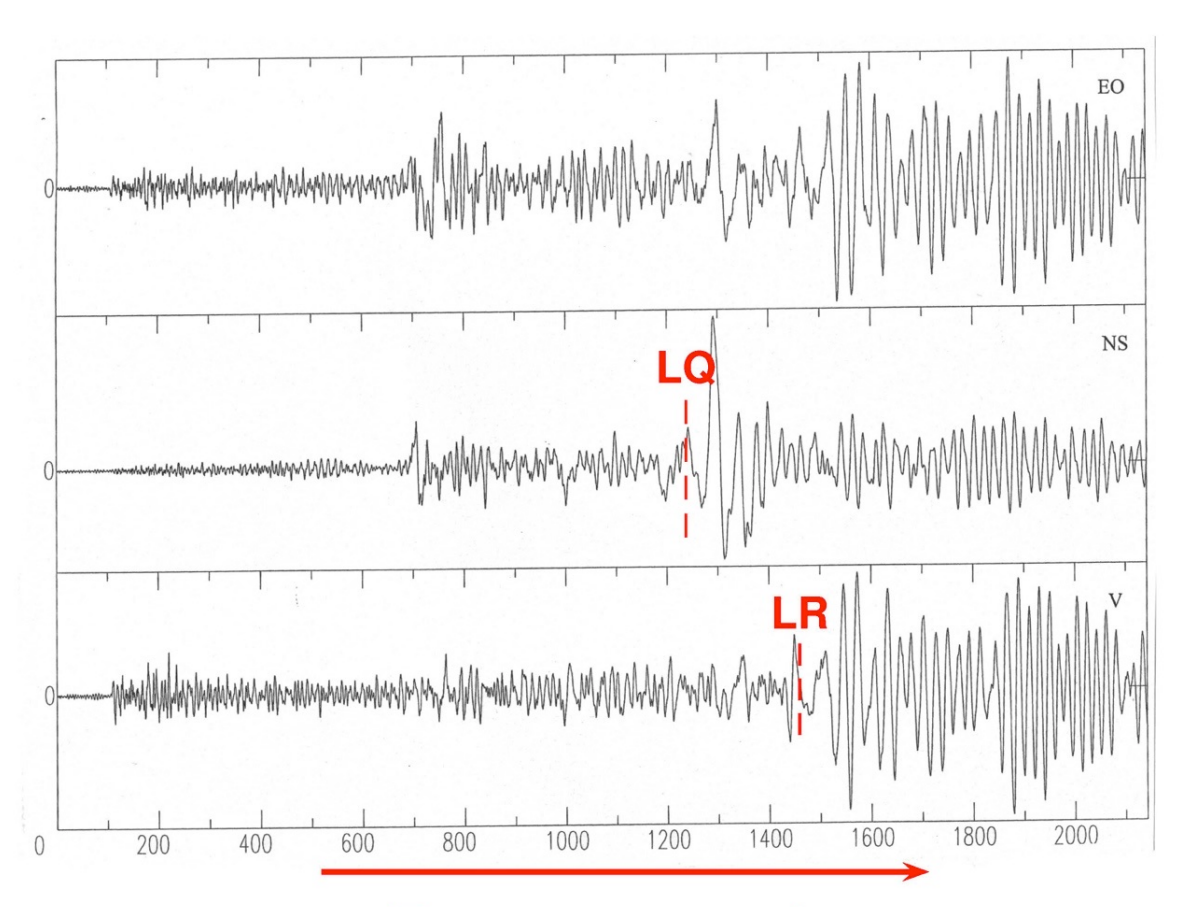
Identification de l'onde S



Temps en secondes

- Lecture de l'onde S sur les composantes horizontales
- Arrive après l'onde P
- Contenu haute fréquence de l'onde S légèrement plus basse que l'onde P environ 0.25 Hz (4 s)

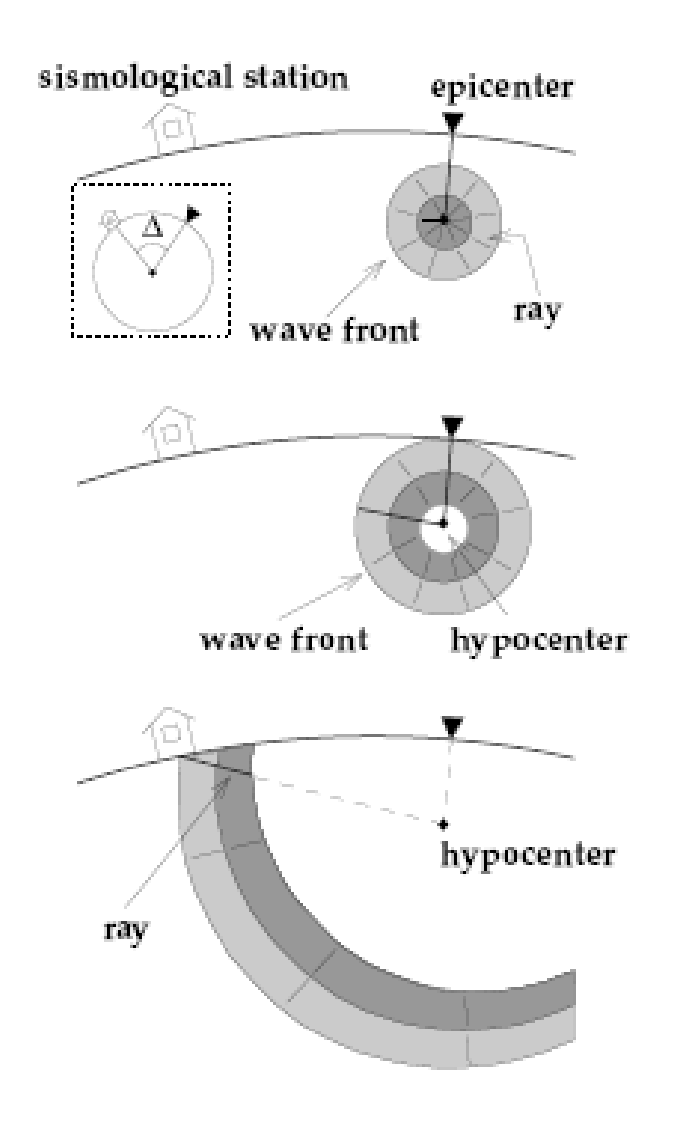
Identification des ondes de surface

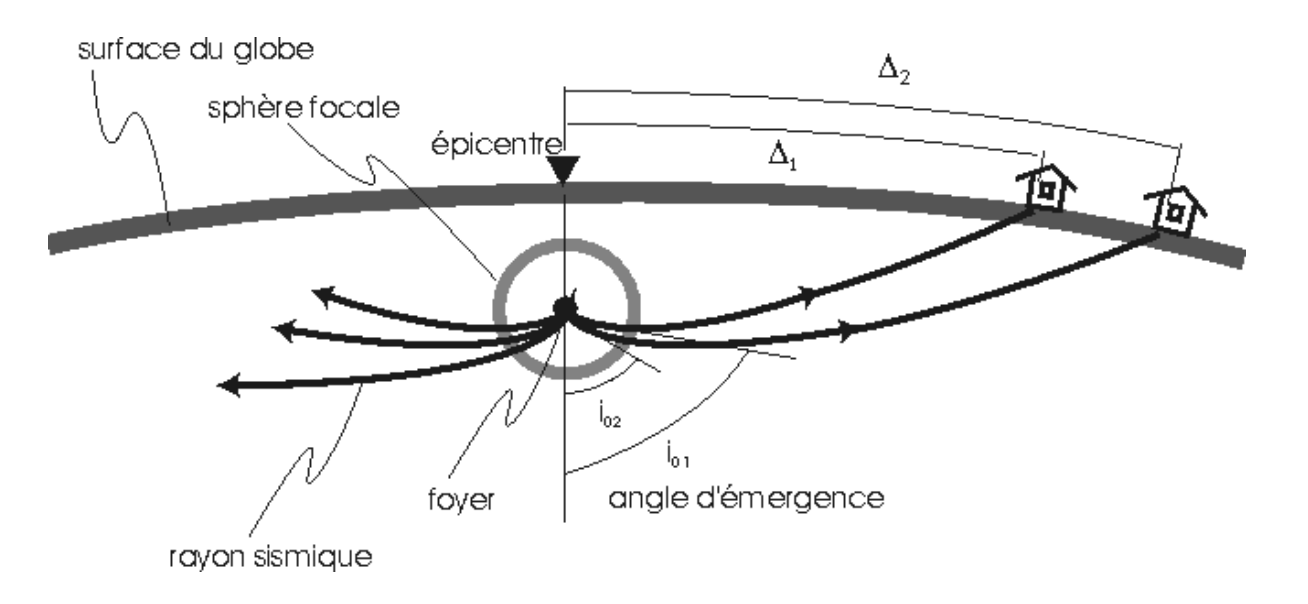


Temps en secondes

- Lecture sur la composante verticale pour les ondes de Rayleigh (LR) item Lecture sur les composantes horizontales pour les ondes de Love (LQ)
- Les ondes de Love arrivent avant les ondes de Rayleigh
- Contenu basse fréquence des ondes de surfaces aux alentours de 0.1Hz (10s)

Front d'onde / rayon / distance épicentrale

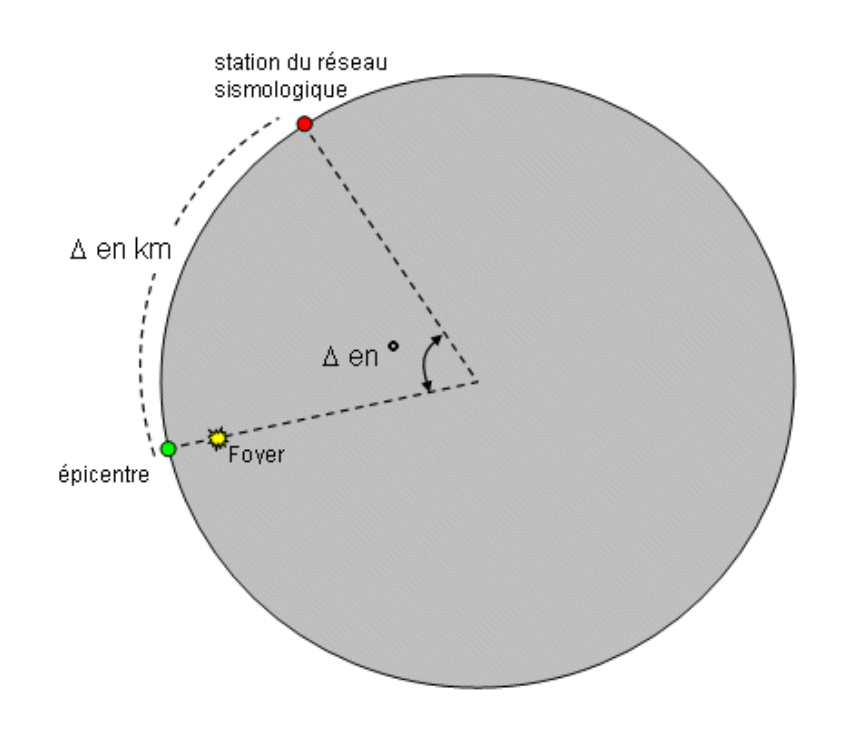


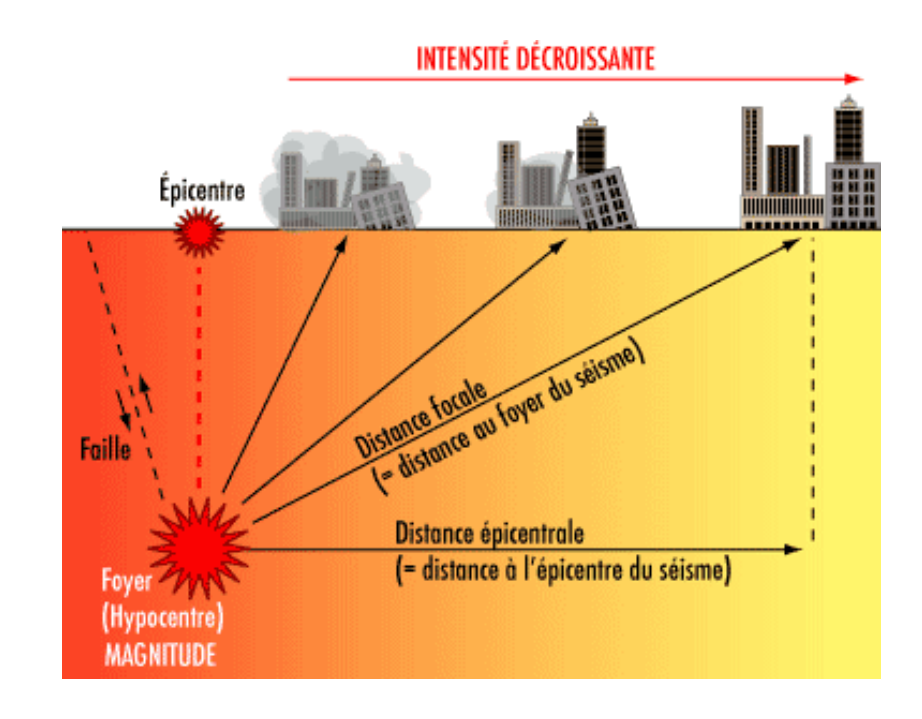


Distance épicentrale

distance épicentrale- foyer, épicentre, réseau sismologique

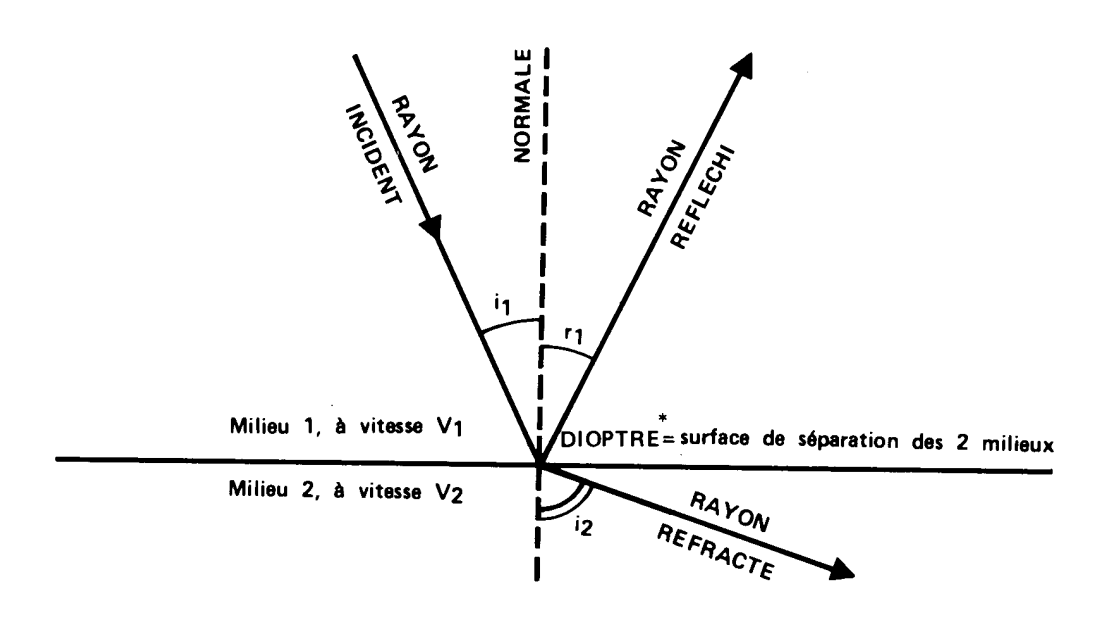
exprimée en Km ou en ' (en surface 1° = 111,105 km)





 $\Delta(km)=\Delta(^{\circ}) \times R \times 2\pi/360$ avec R=6371 km

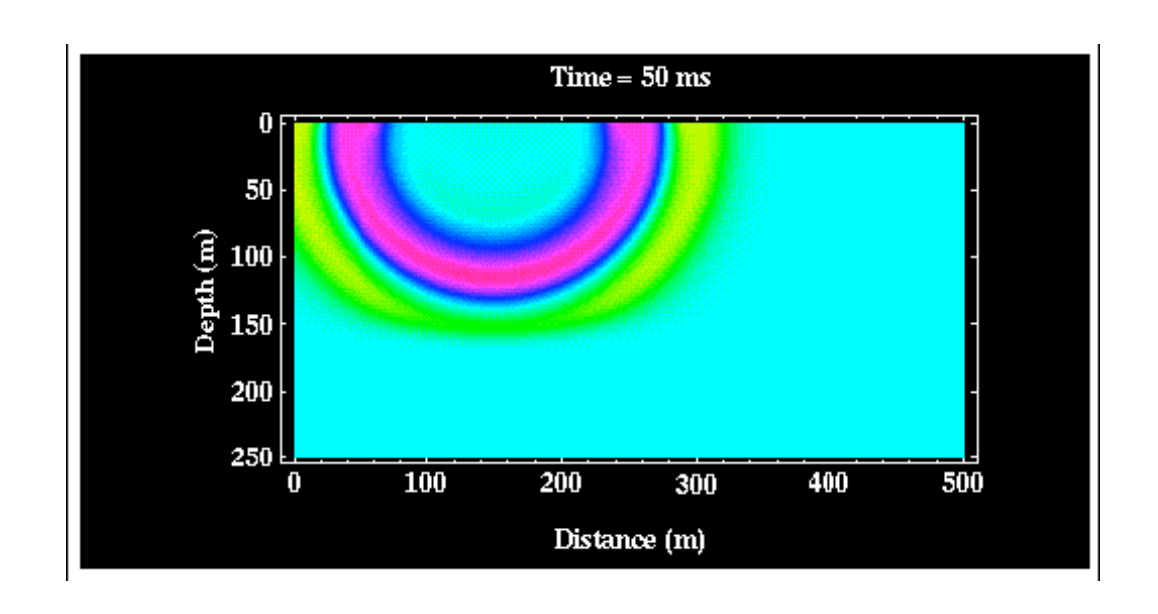
Loi de Snell-Descarte

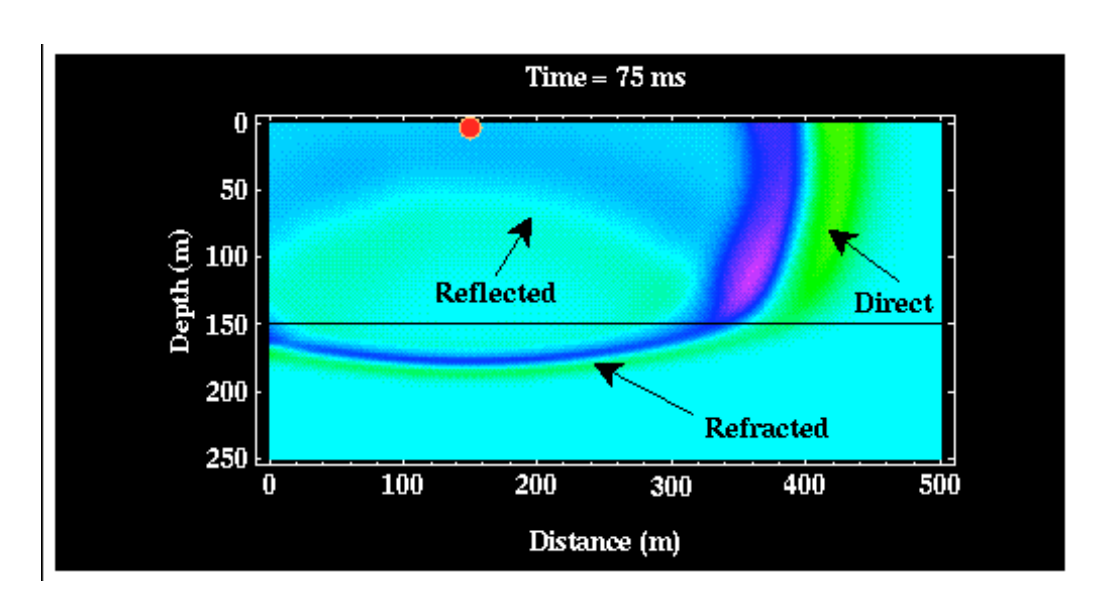


La Terre est à symétrie sphérique avec des couches concentriques 2 couches avec des vitesses différentes sont séparées par une discontinuité ou une interface.

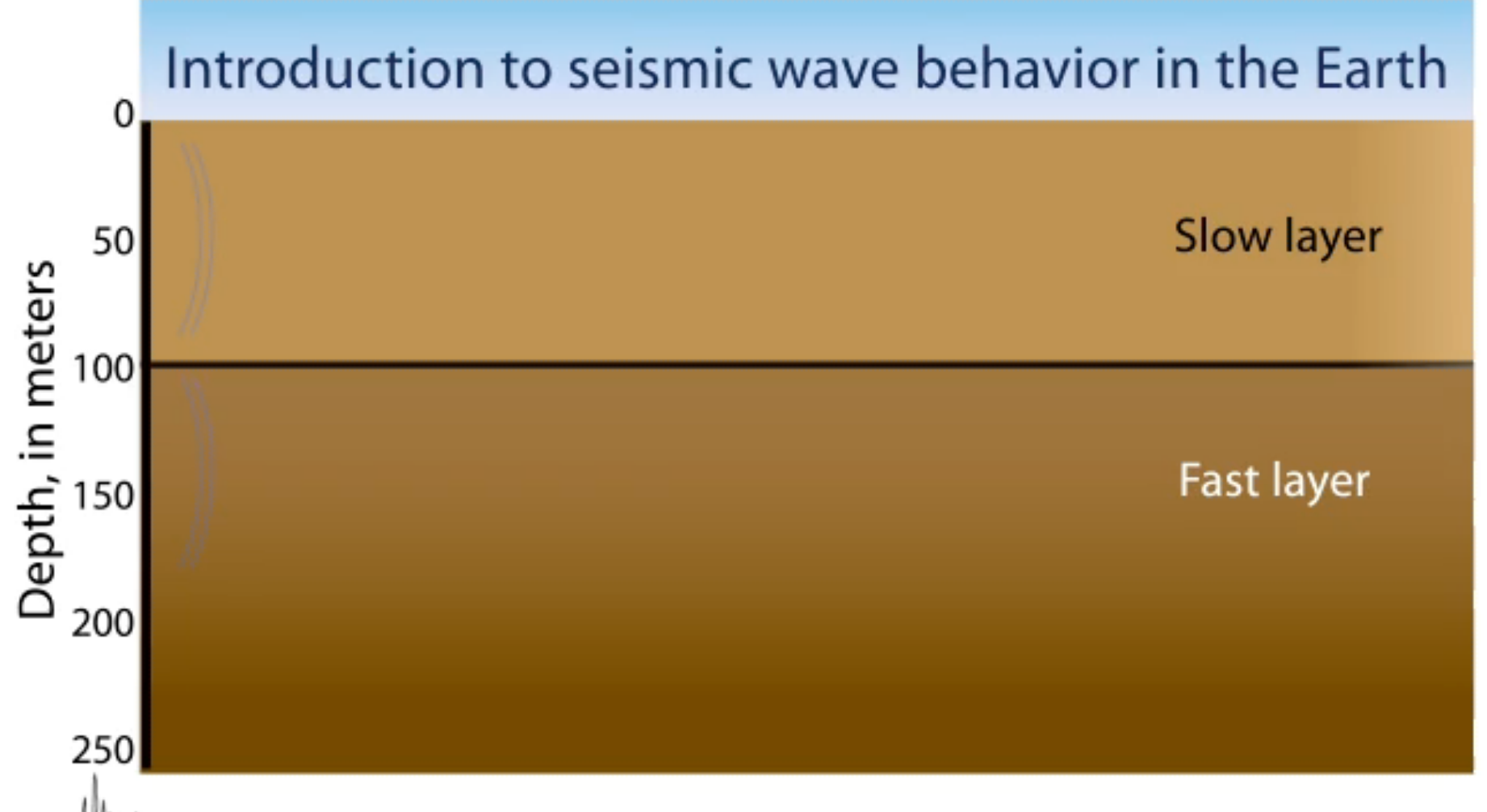
La loi Snell-Descartes donne la relation entre les angles des rais à l'interface.

Réflexion - Réfraction





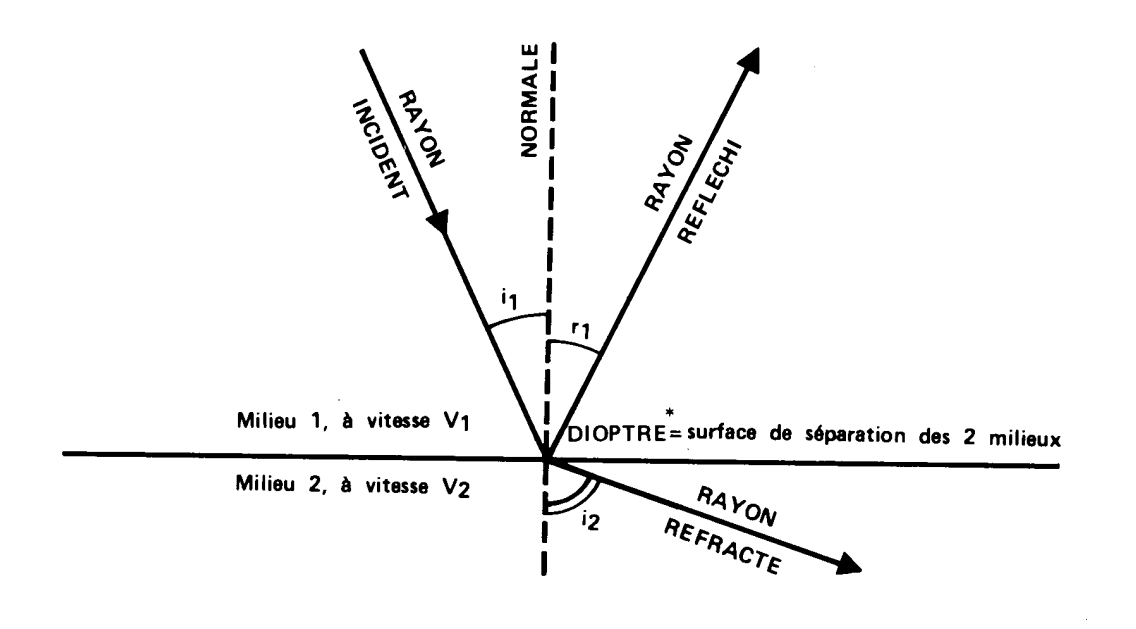
Seismic wave behavior across a single boundary





Incorporated Research Institutions for Seismology

Loi de Snell-Descarte



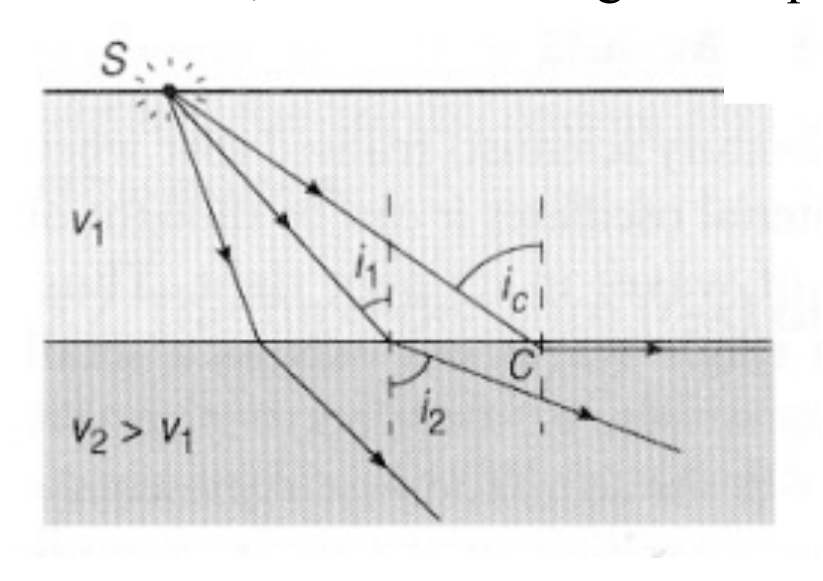
Changement propriétés physiques

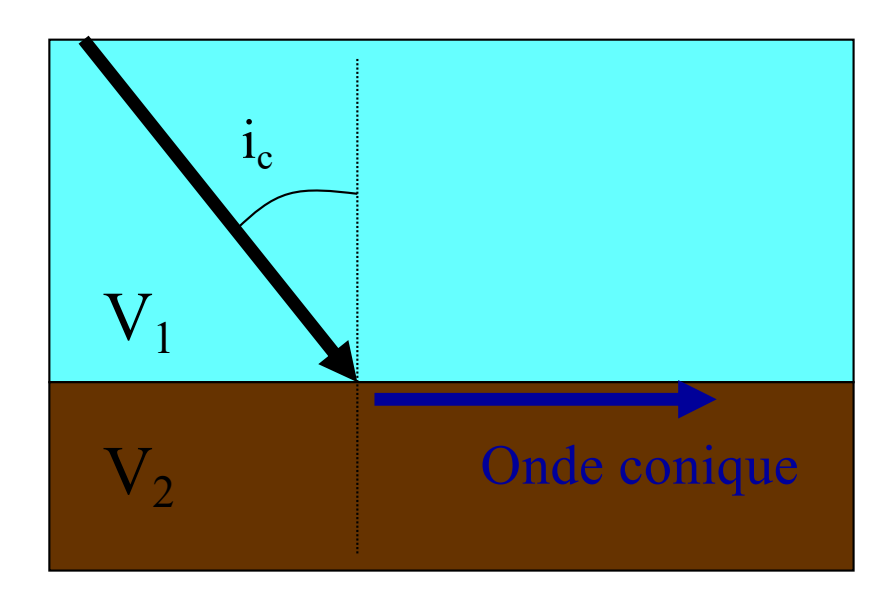
$$\frac{\sin i_1}{V_1} = \frac{\sin i_2}{V_2}$$

La loi nous donne les relations angulaires entre les rais incidents, réfléchies et réfractées.

Onde conique

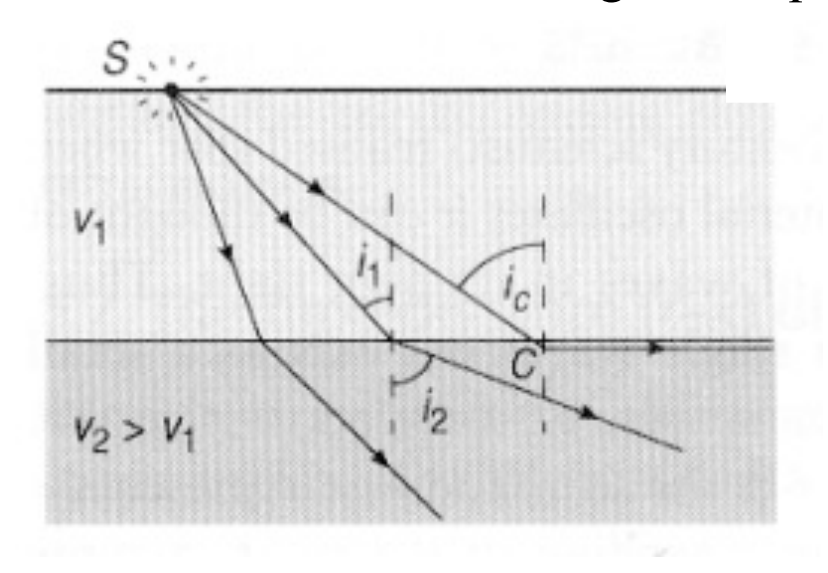
Si V2>V1, il existe un angle critique:

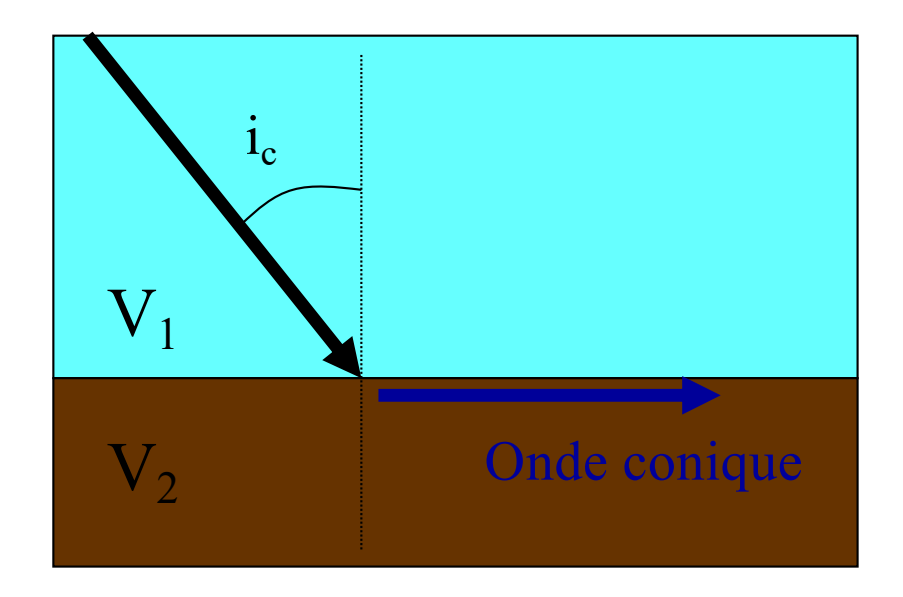




Onde conique

Si V2>V1, il existe un angle critique:



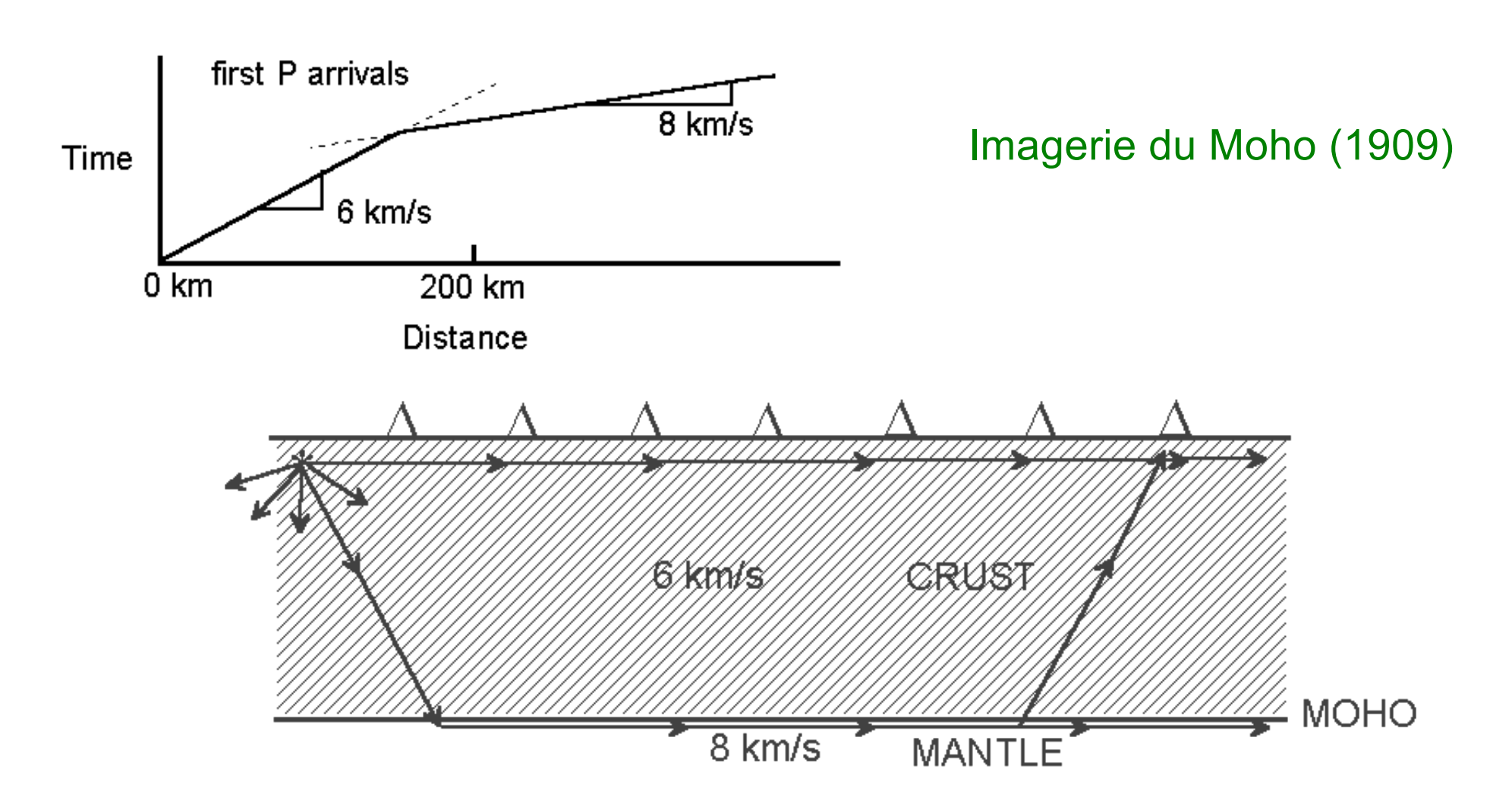


$$\frac{\sin i_c}{v_1} = \frac{\sin 90^\circ}{v_2}$$

$$\sin i_c = \frac{V_1}{V_2}$$

Il existe donc un angle $i_1 = i_c$ au-delà duquel il n'y a plus d'onde transmise. Pour $i_1 = i_c$, $i_2 = 90^{\circ}$, l'onde est une onde réfractée appelée onde conique.

Onde conique

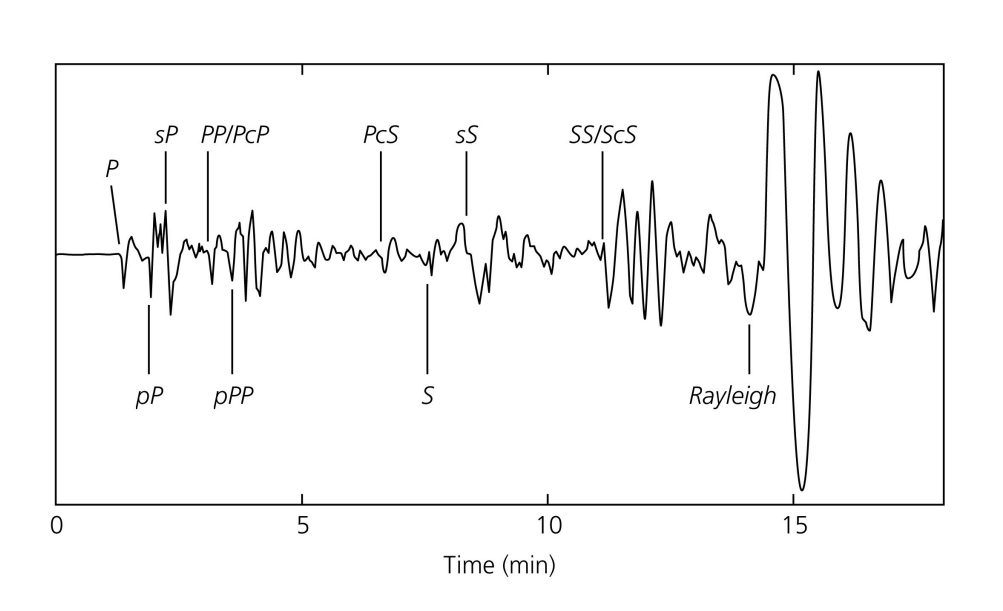


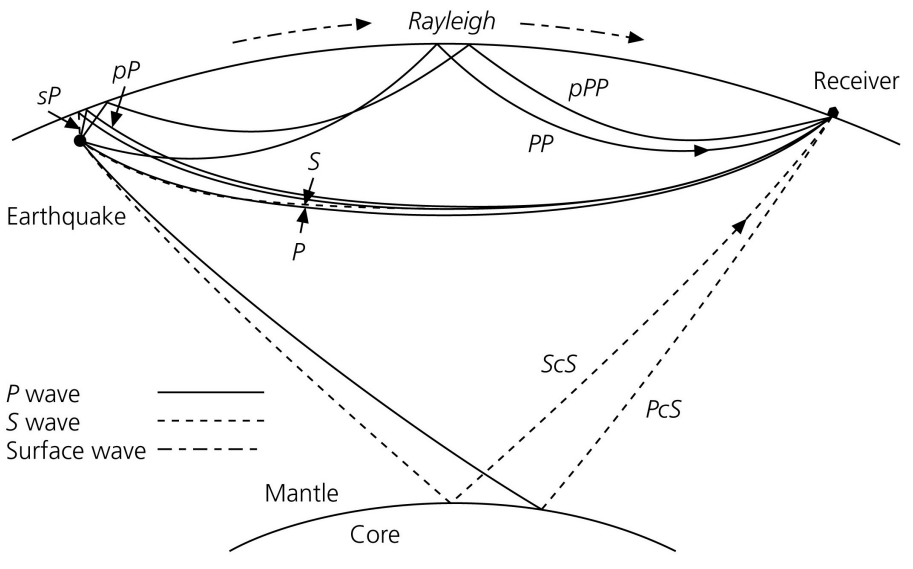
Épaisseur moyenne 35 km avec de larges variations.

Conversion des ondes aux interfaces.

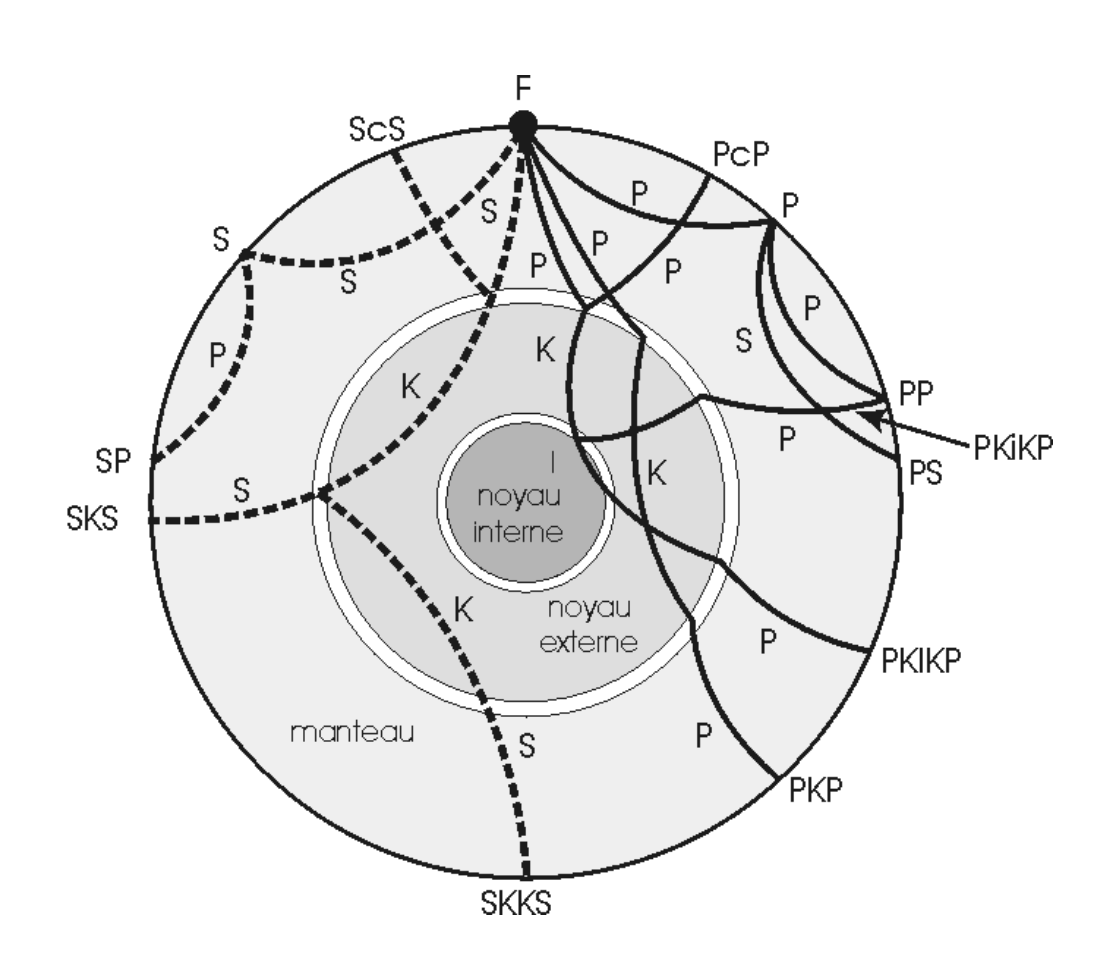
Lorsqu'une onde P (ou S) se réfléchit ou se transmet sur une surface de discontinuité, elle peut se convertir en S (ou P).

On dénombre ainsi différents types d'ondes qui traversent le globe (P, PP, PS,...).





Réflexion - Réfraction



On désigne par :

"c" une réflexion sur le noyau.

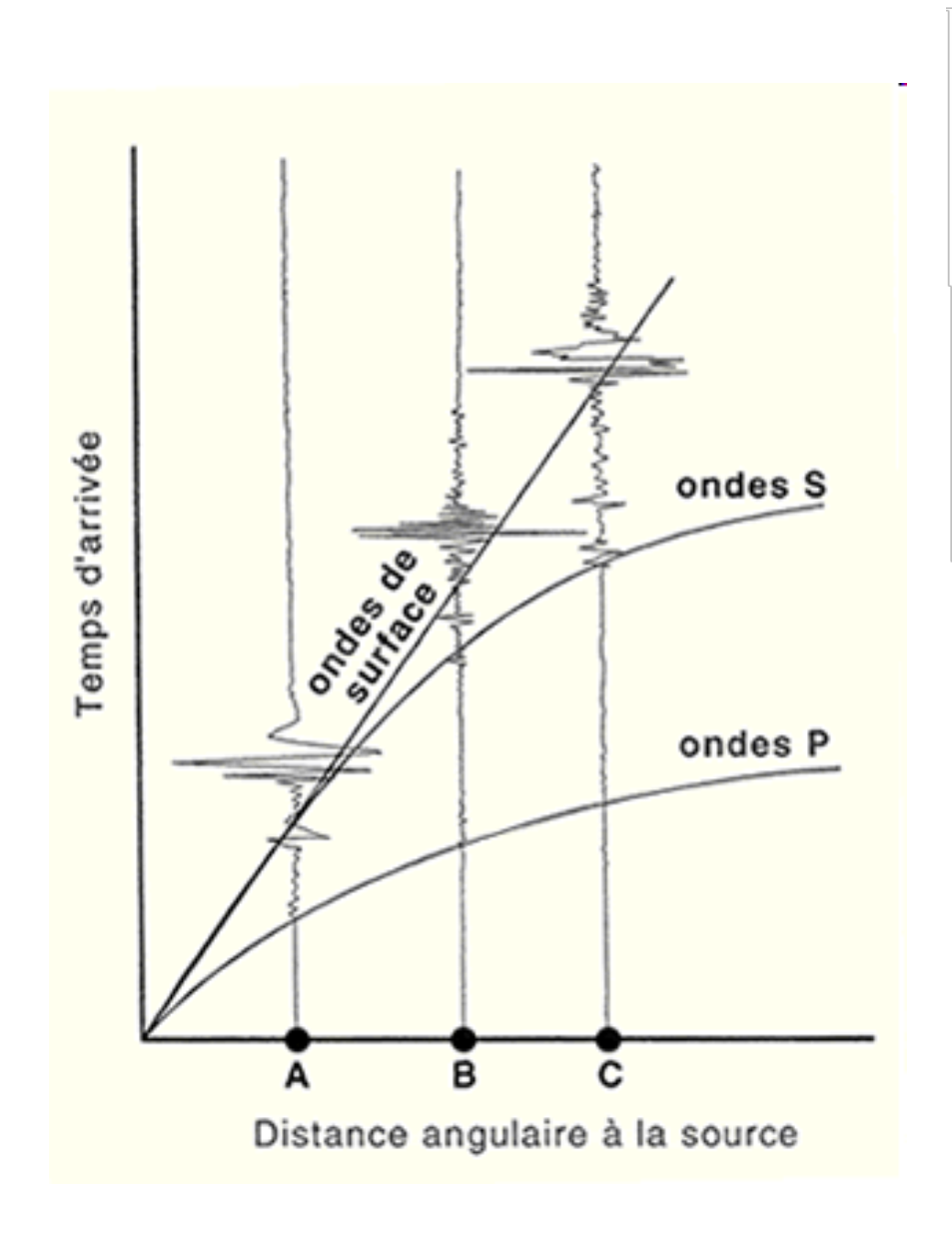
"i" une réflexion sur la graine.

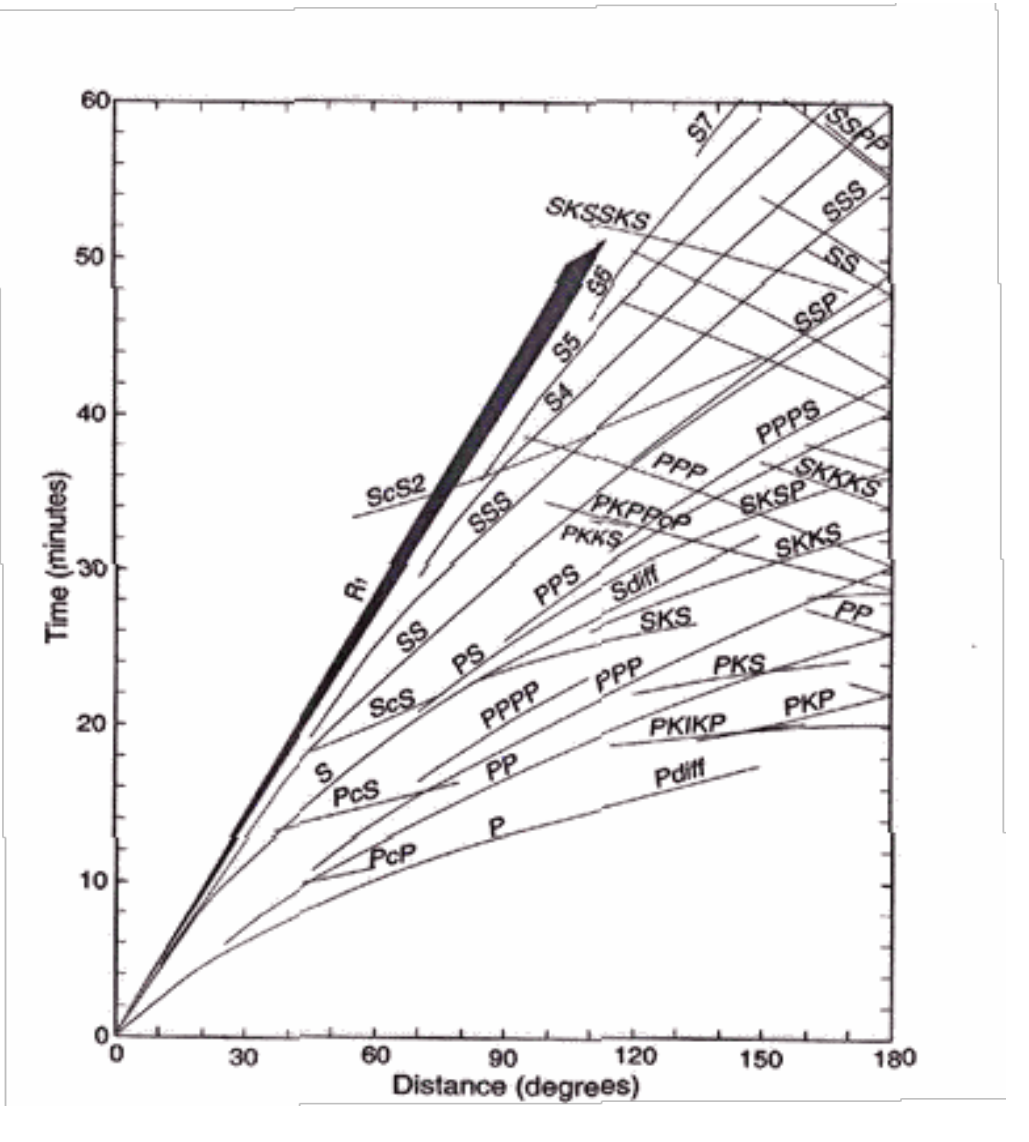
"K" un trajet dans le noyau externe.

"I" un trajet dans la graine (onde P).

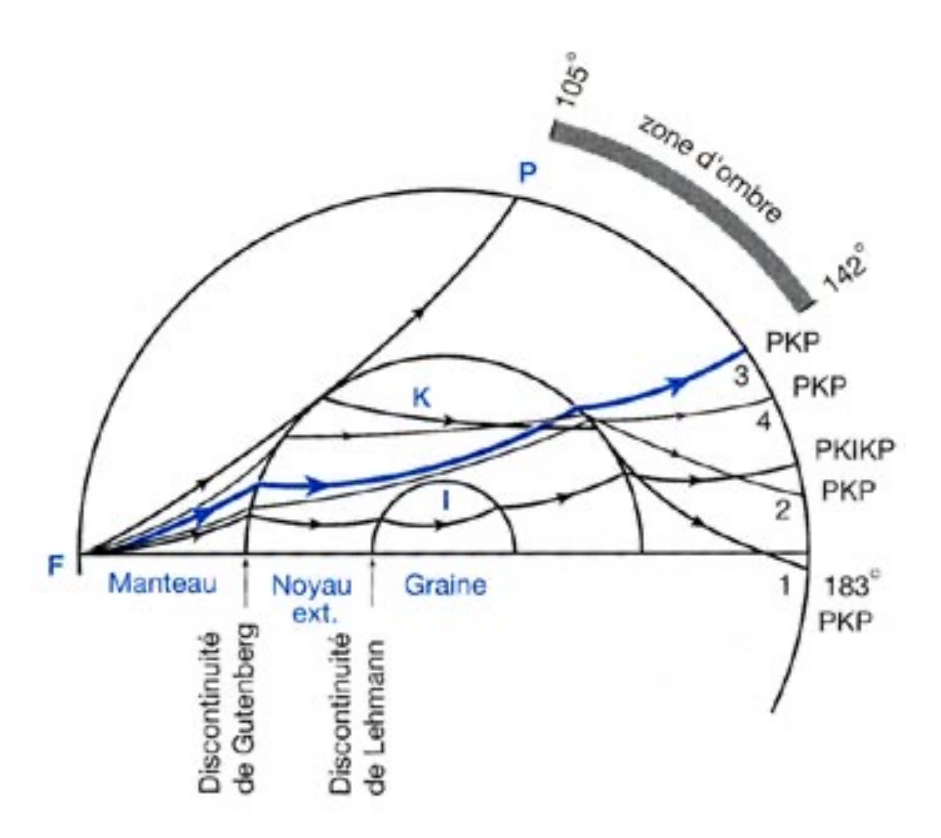
"J" un trajet dans la graine (Onde S)

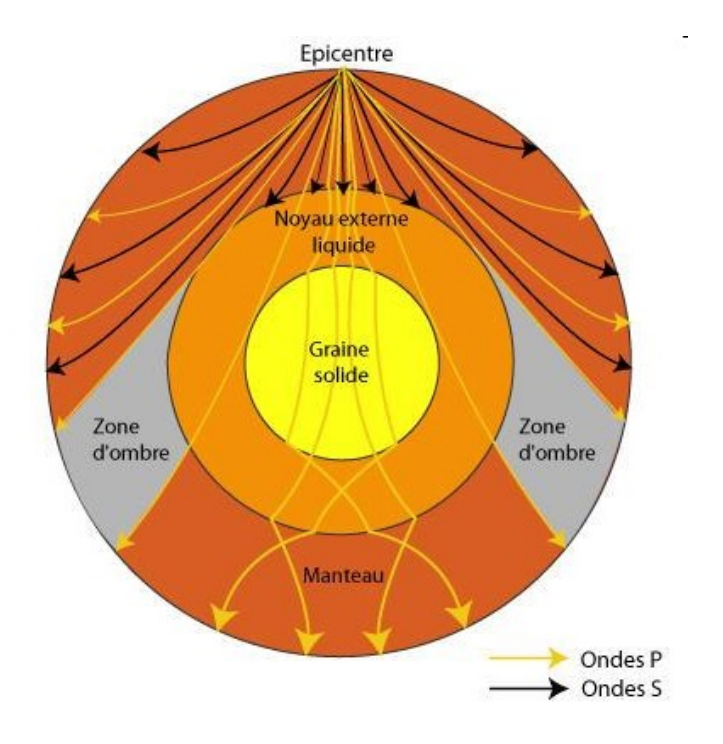
Hodochrones

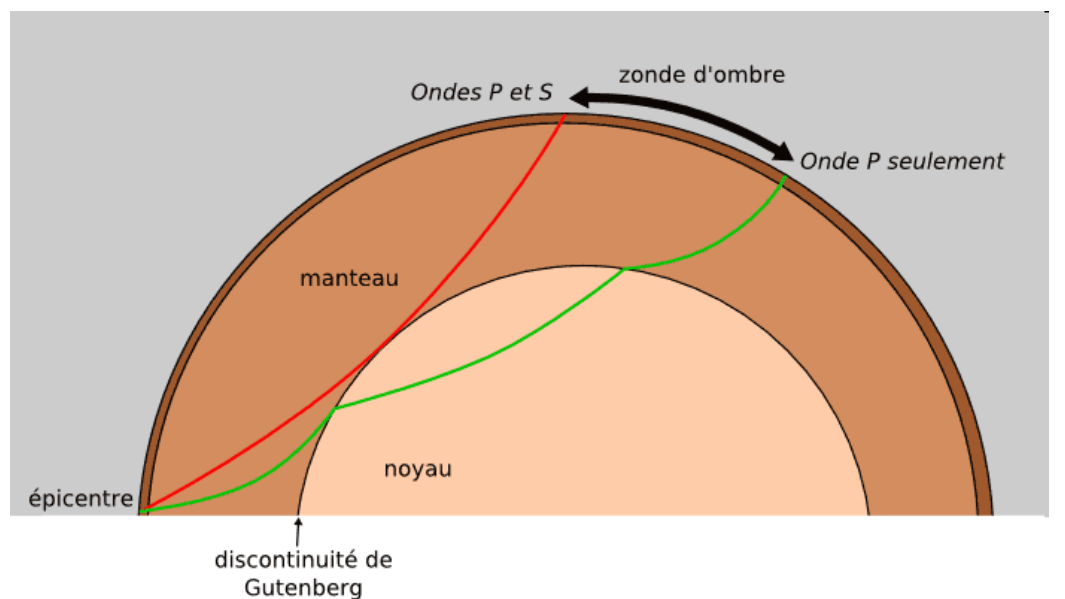




Zone d'ombre







Zone d'ombre

